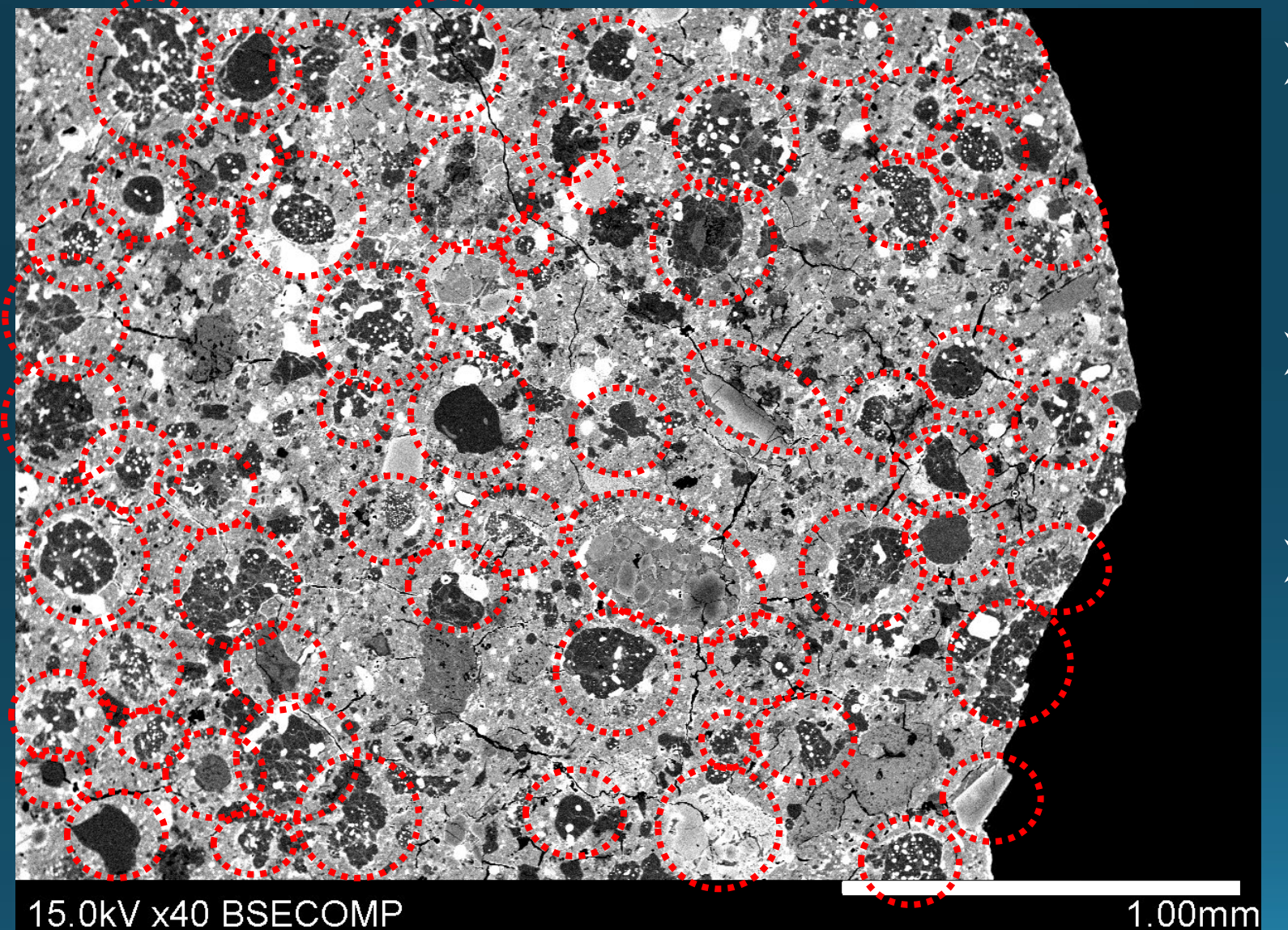
酸素同位体比から推定されるコンドルール形成環境

牛久保 孝行 (<u>海洋研究開発機構 高知コア研究</u>所)

Chondrule (コンドルール)

炭素質コンドライト(Acfer 094)の薄片 SEM-BSE画像

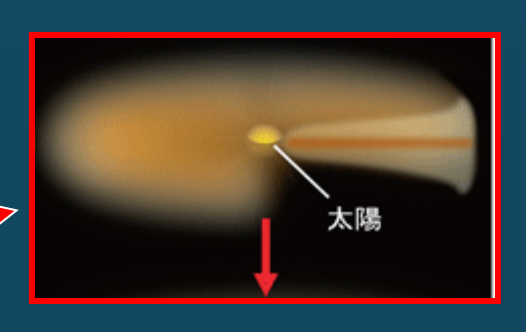


- ▶原始太陽系円盤環境で 熔融した珪酸塩粒子 冷却速度~10s-103s°C/h
- ➤形成年代 45.65~45.63(?)億年前
- 大量に、広範に存在 普通コンドライト: 60-80% 炭素質コンドライト: 20-60% CIコンドライト: <5%
 </p>

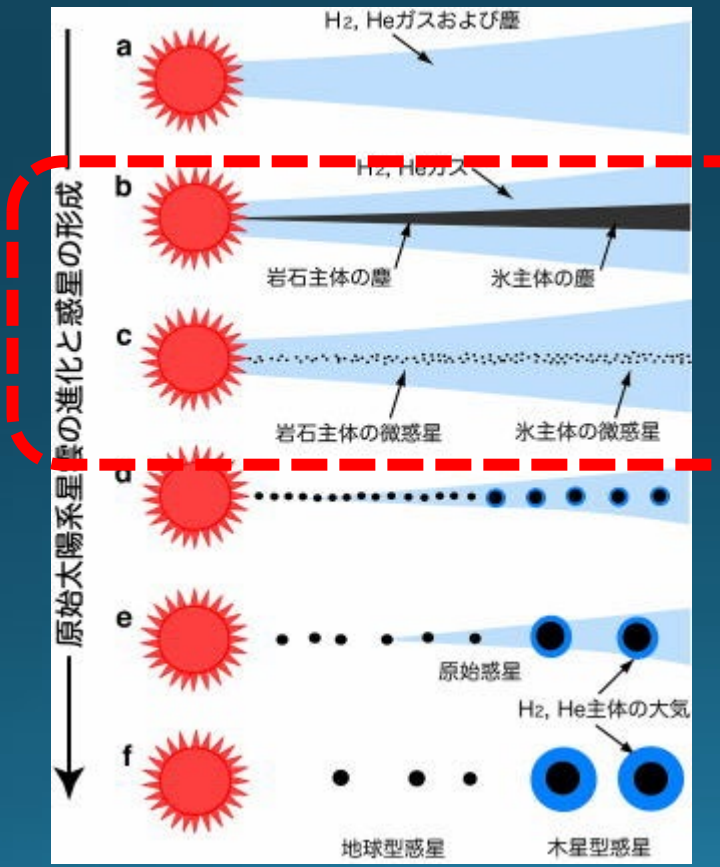
Comet 81P/Wild: ごく僅か? (vol. %)

コンドルールの形成





Protoplanetary Disk "惑星系の母体"



Sub-mmダストの形成から 微惑星形成にかけての時期

(提唱されている主な形成機構)

- > 微惑星衝突
- ▶ 微惑星による衝撃波
- > 円盤スケールの衝撃波
- ▶雷放電

(Desch+ 2012 MAPS)

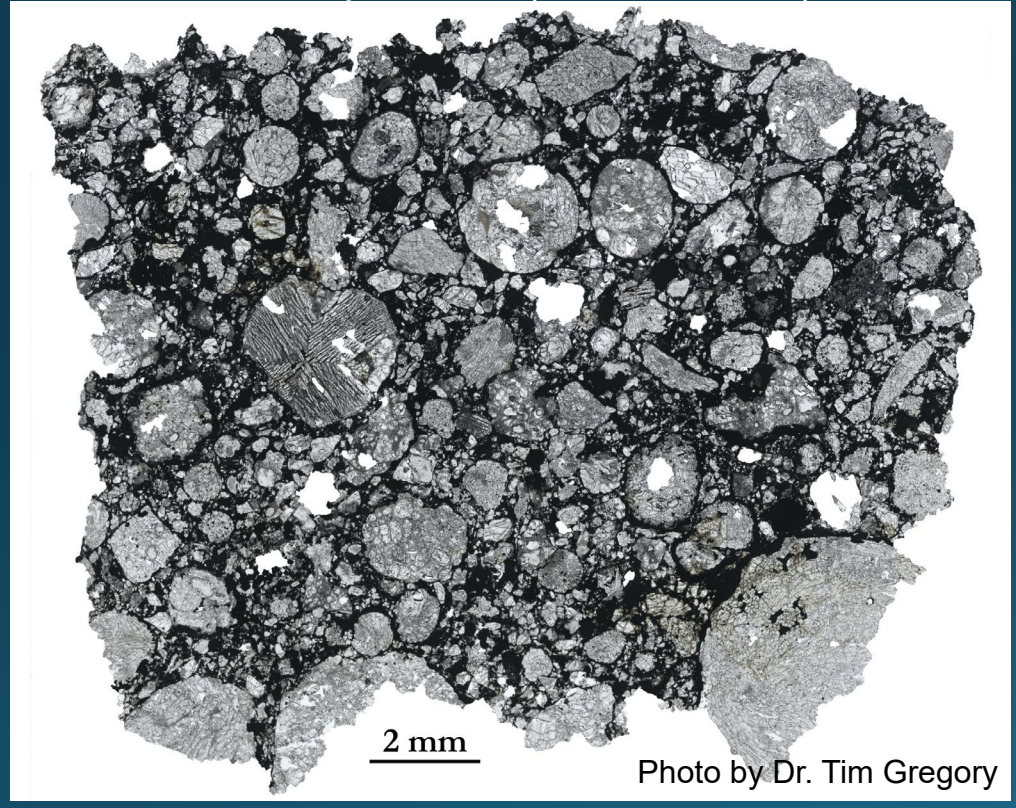
どのモデルであれ、説明されるべき 酸素同位体比の主な特徴は何か

コンドルールの多様性

形成領域 (≒母天体の集積領域)

Non-carbonaceous (NC)

Bishunpur隕石 (LL chondrite)



Carbonaceous (CC)

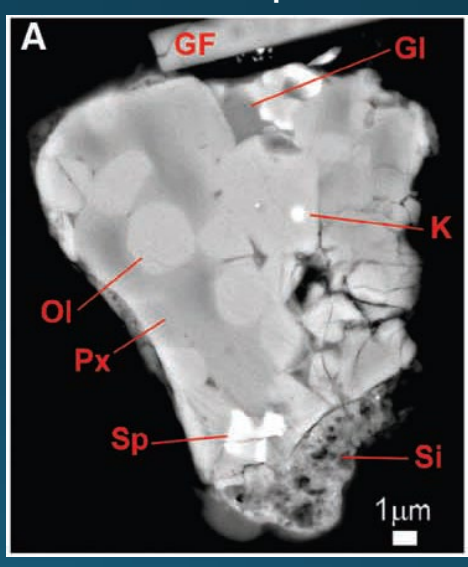
NWA 801隕石 (CR chondrite)



Photo by Dr. Tim Gregory

Cometary

81P/Wild particle



Nakamura+ 2008 Science

酸素同位体比の特徴はNCとCCのコンドルールで異なる

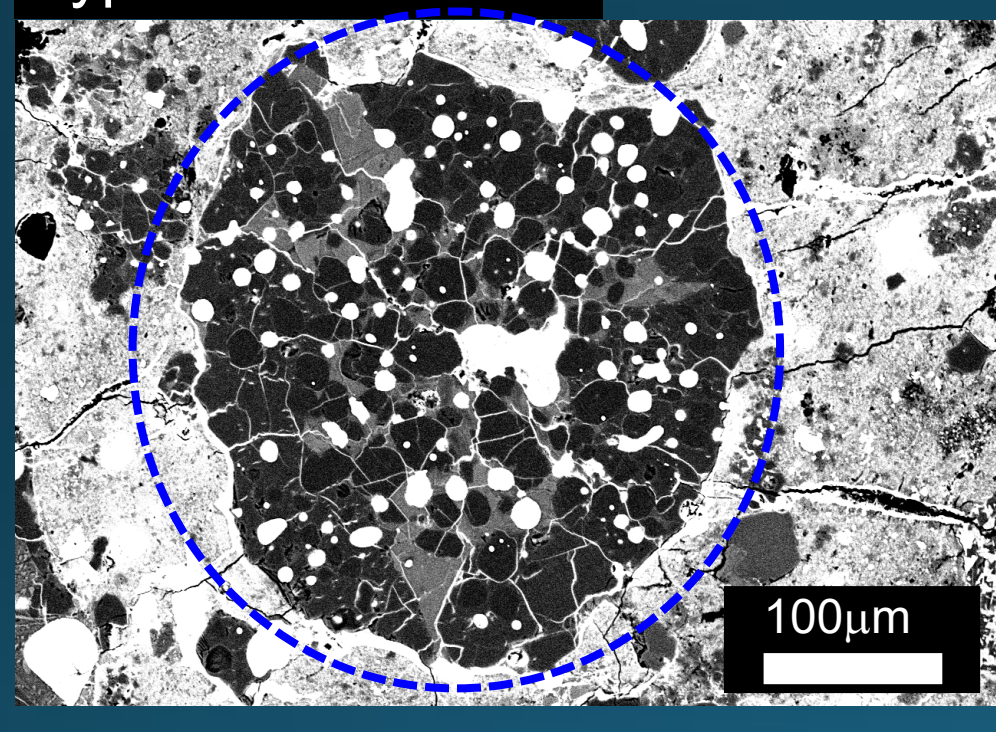
コンドルールの多様性

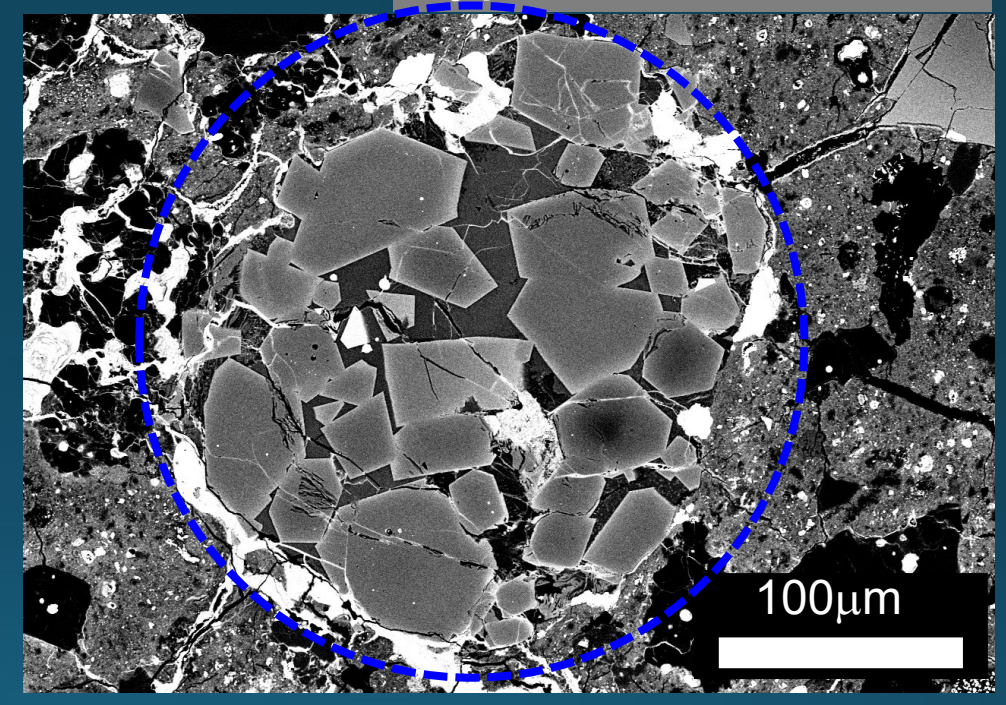
還元的 & 酸化的 環境で形成 ※同じ隕石に存在

Type I (90%以上)

電子顕微鏡のBSE像(組成像)

Type II (10%未満)





MgO + Fe (+ O) (還元的: log fO₂~ IW-3.5)

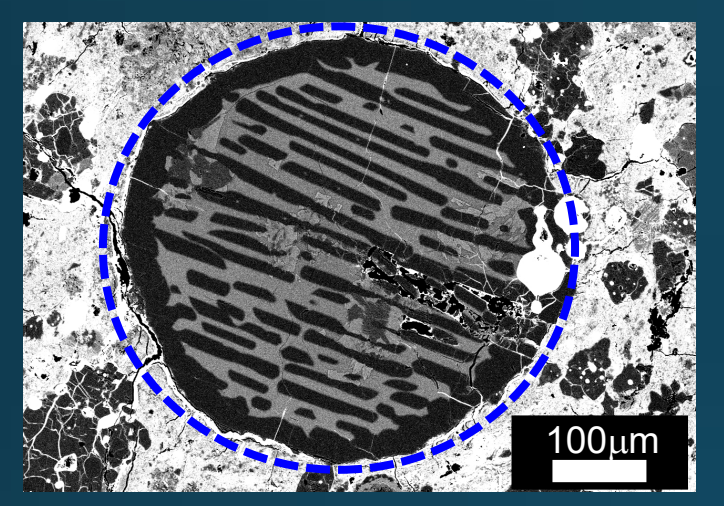
MgO + FeO (酸化的: $\log fO_2 \sim \text{IW}-2 \text{ to IW}-1$)

CCのコンドルールでは酸素同位体比に違いが見られる

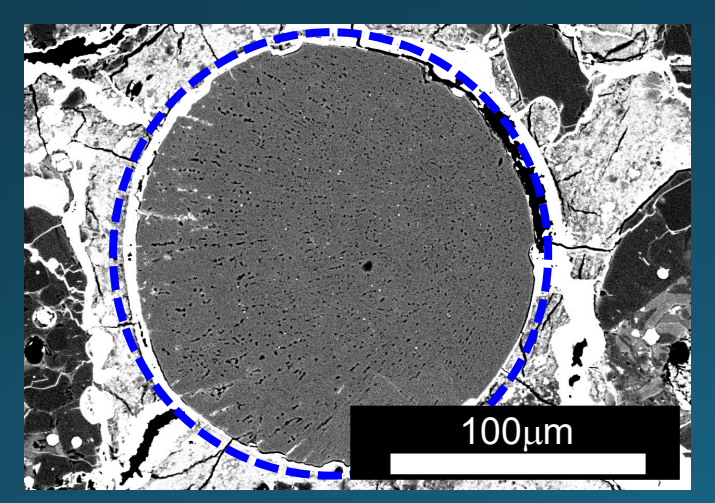
コンドルールの多様性

鉱物・組織的特徴

急冷結晶組織

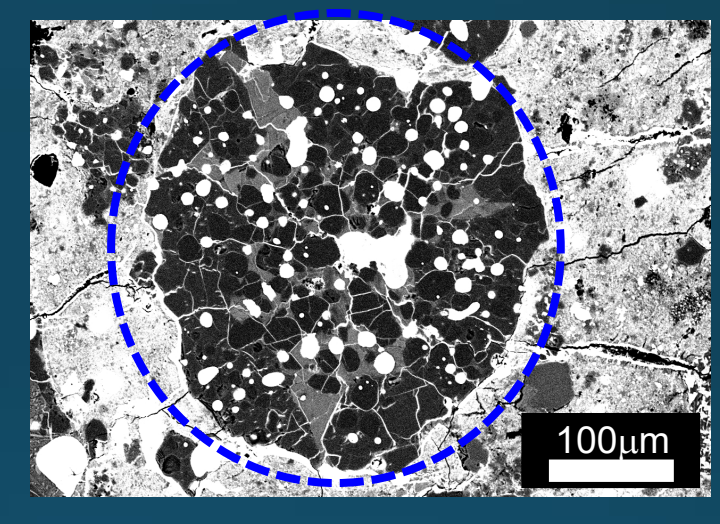


Barred Olivine (Mg₂SiO₄-rich)

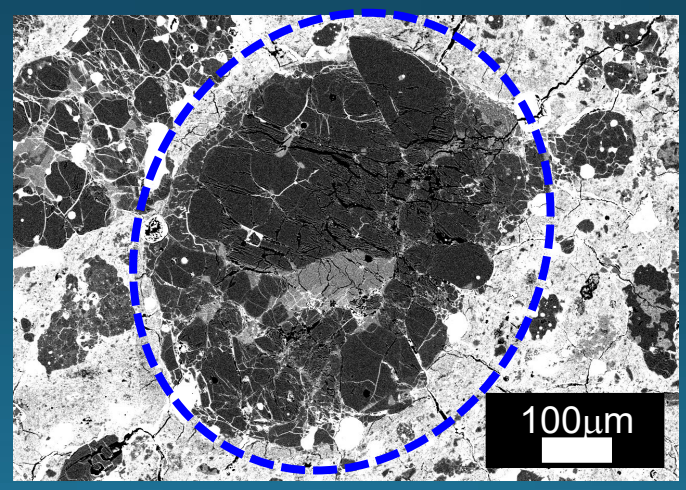


Radial Pyroxene (MgSiO₃-rich)

斑状組織



Porphyritic (Fe-metalが多い)

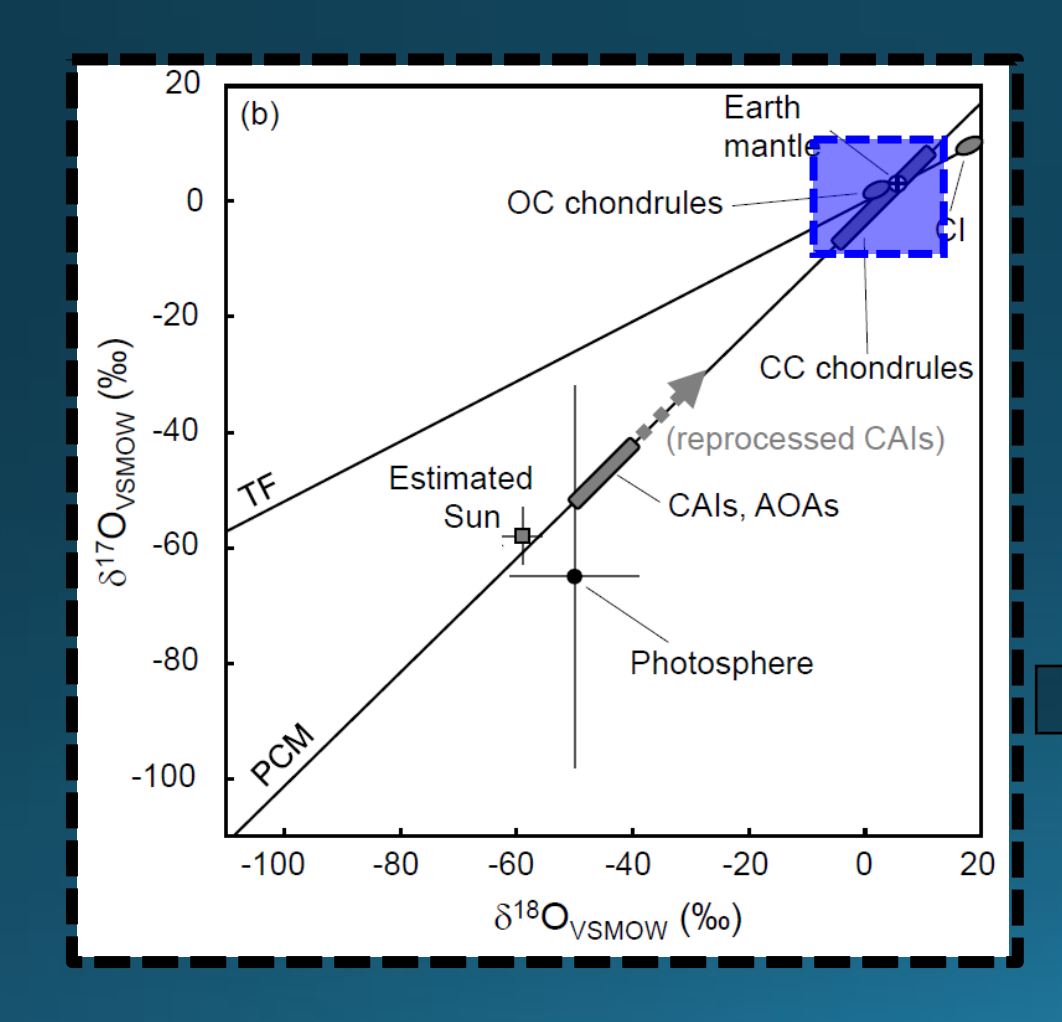


Porphyritic (Fe-metalが少ない)

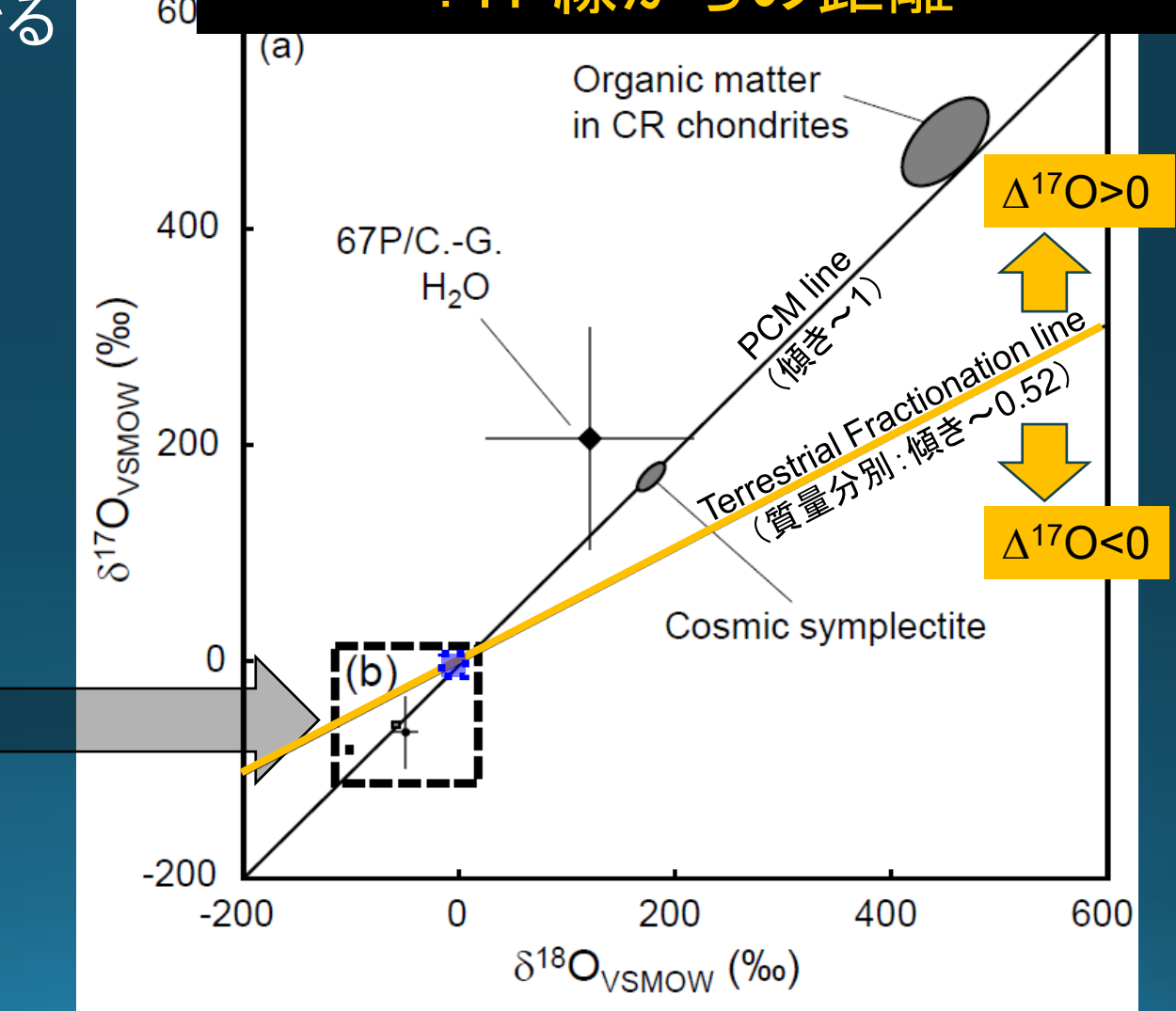
酸素同位体比は組織や鉱物組み合わせ(形成条件や化学組成)とは無関係

太陽系物質の酸素同位体分布

- ➤ 傾き~1の直線上に分布 PCM線: ushikubo+ (2012) GCA
- ➤ 難揮発性物質は16O-rich、揮発性成分は16O-poor
- ➤ 同位体分別作用とMixingを分けて議論できる



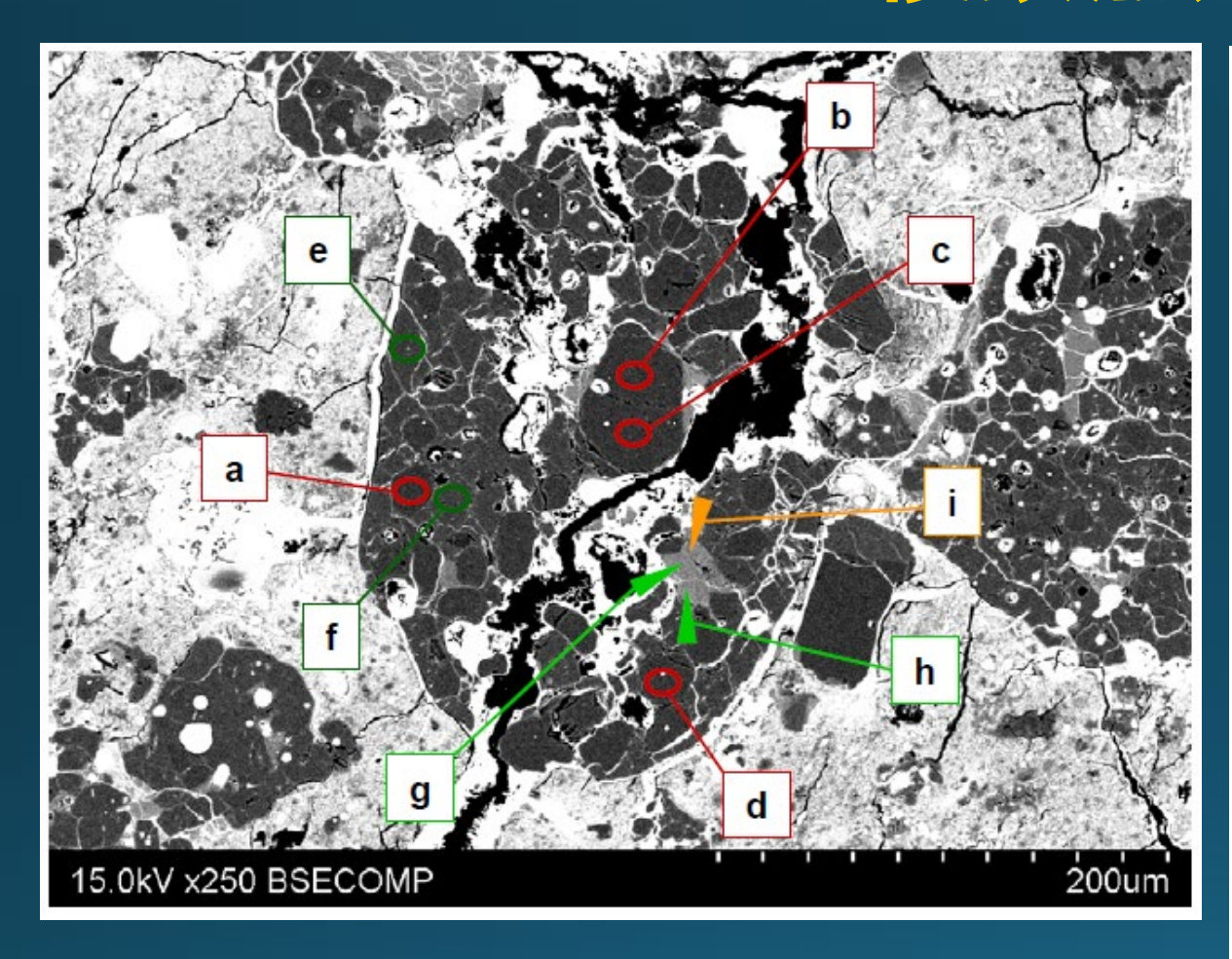
 Δ^{17} O値(= δ^{17} O - $0.52 \times \delta^{18}$ O) : TF線からの距離



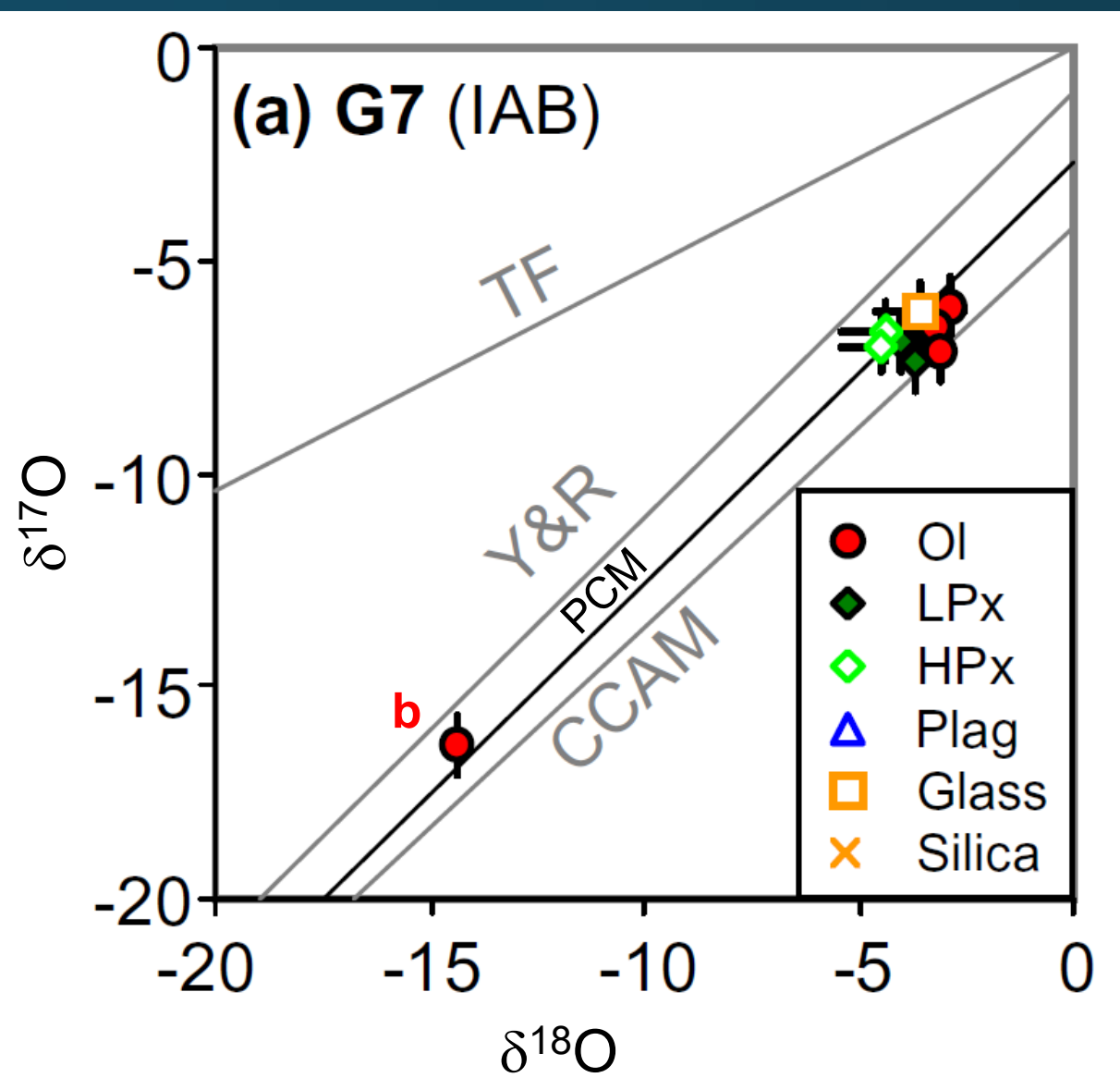
コンドルールの酸素同位体比の特徴

1. 個々のコンドルールの大部分は均質

複数点分析の例

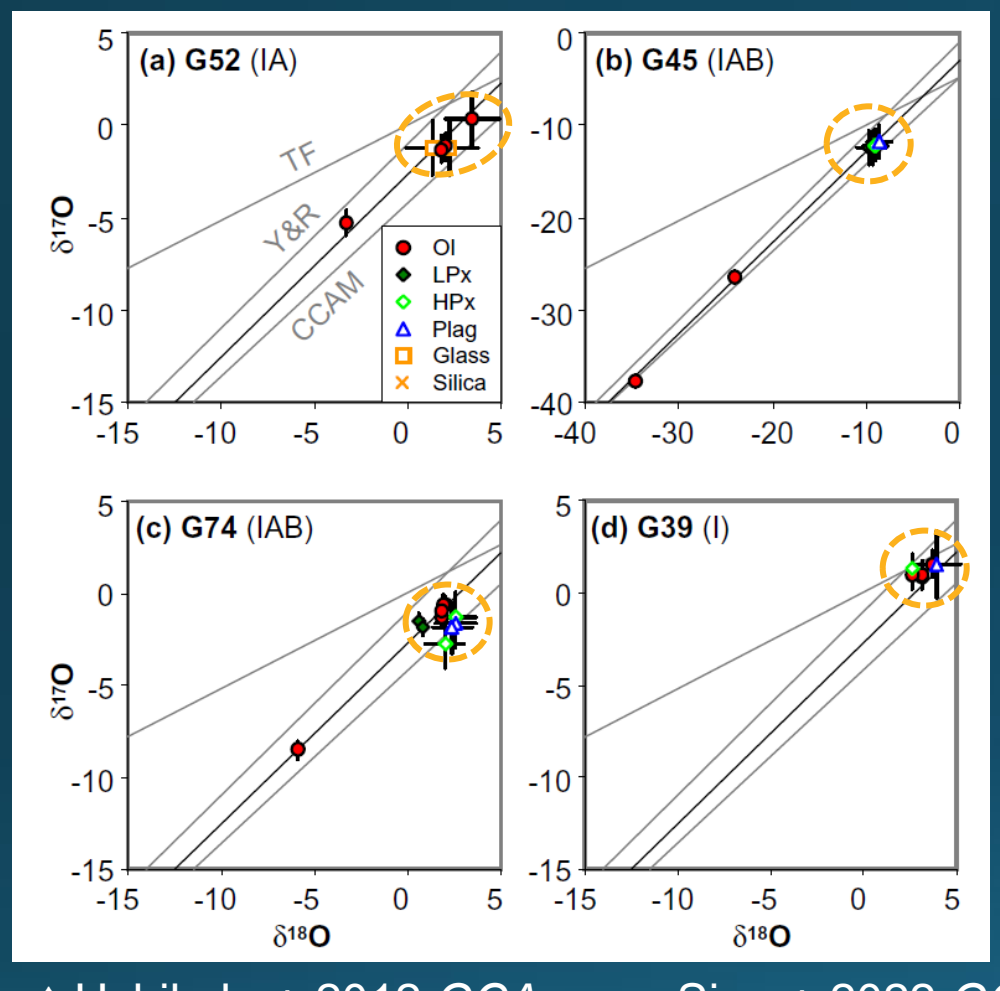


大部分は酸素同位体比が均質なメルトから結晶・ガラスが形成している ※ 熔け残り粒子(b)を除く



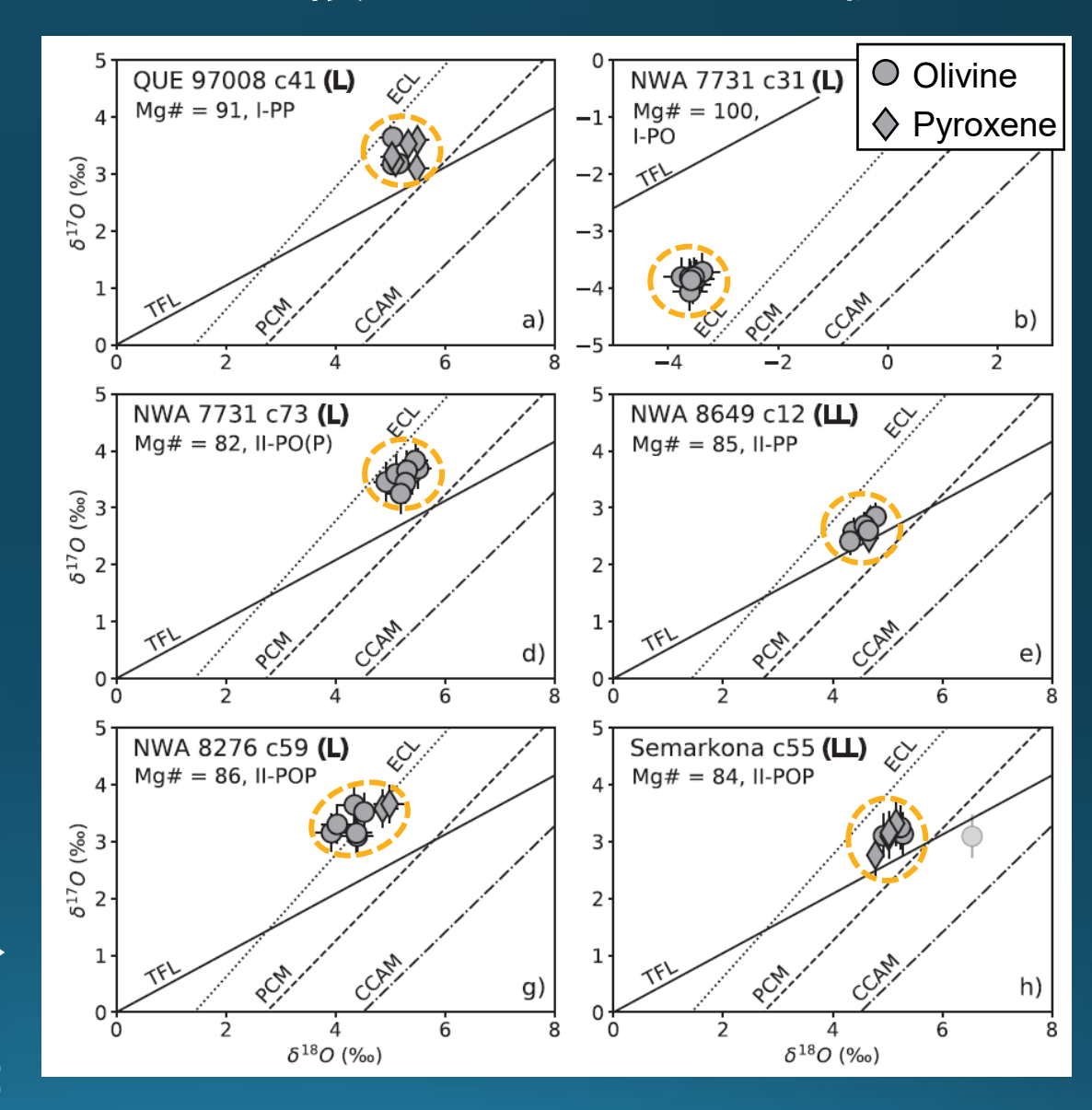
CC隕石 コンドルールの例

NC隕石 コンドルールの例



↑ Ushikubo+ 2012 *GCA*





隕石タイプ毎のコンドルール酸素同位体比分布:

熔け残り粒子を除く部分(Δ17O値分析精度3σ以内)の<u>平均値</u>を示す

コンドルールの酸素同位体比の特徴

2. CC隕石: H₂O氷の影響を示唆する酸化還元状態との相関

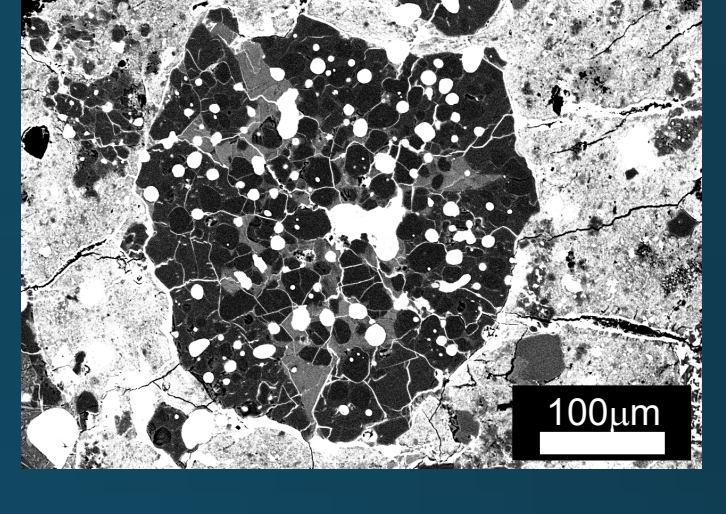
コンドルールの形成環境

Type I: MgO-rich

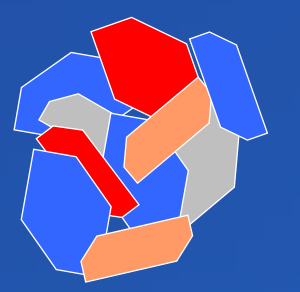


H₂ガスに富む 還元<u>的環境</u>

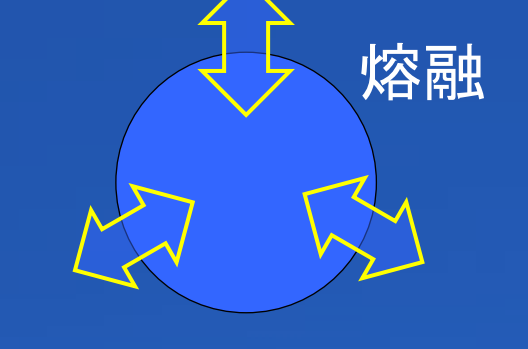




ダストアグリゲイト(?)

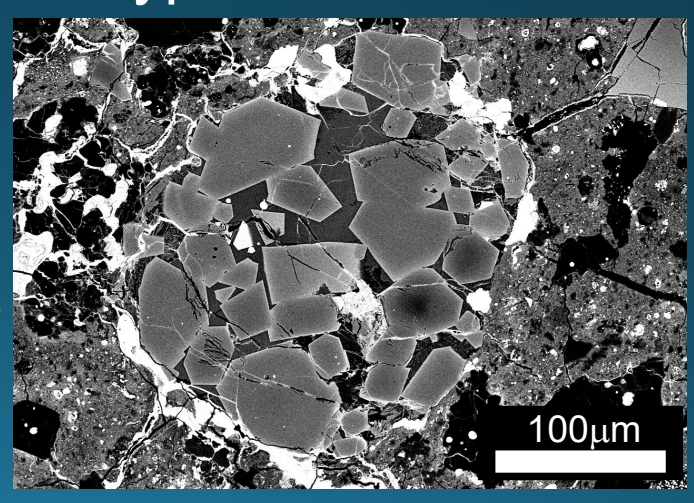


原始太陽系円盤ガス

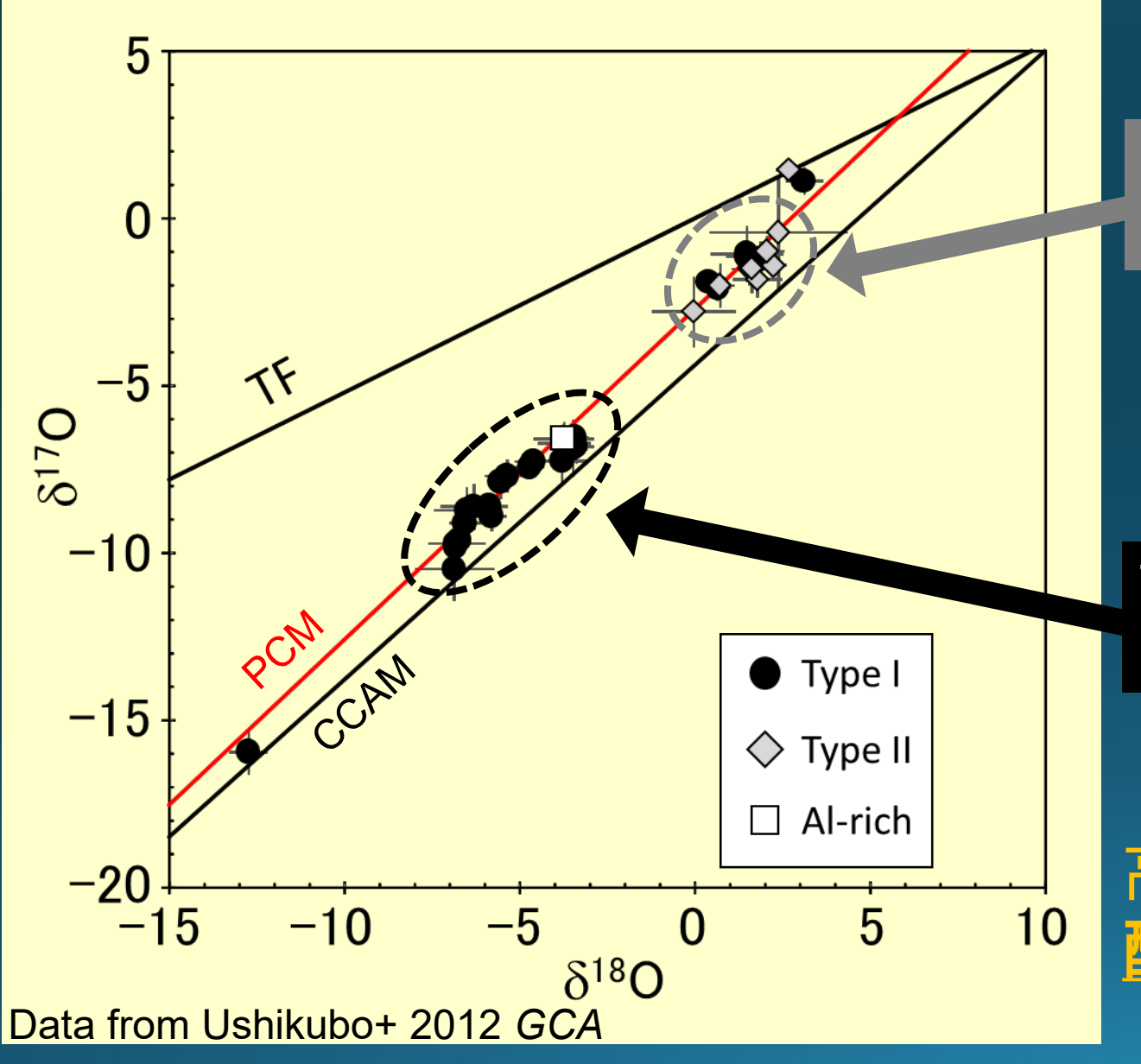


H₂O氷の多い(?) 酸化的環境

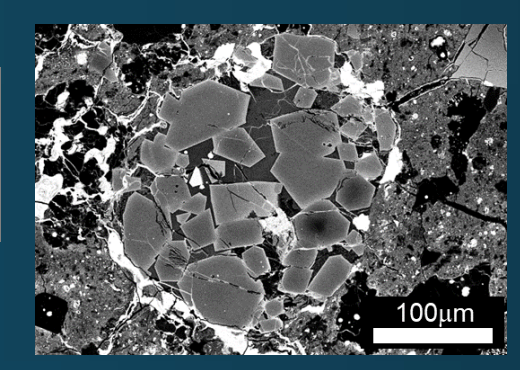
Type II: FeO-rich



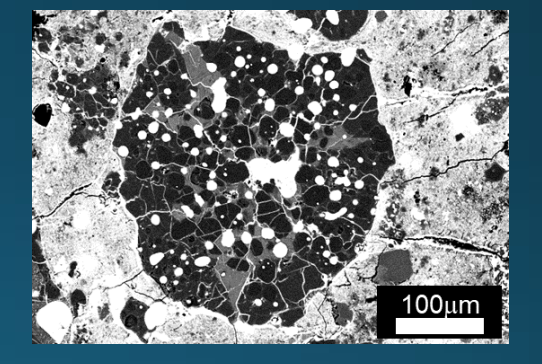
酸化的なType IIコンドルールはΔ17O値が高い



Type II コンドルール Δ¹⁷O ~ -2‰



Type I コンドルール Δ¹⁷O ~ -5‰

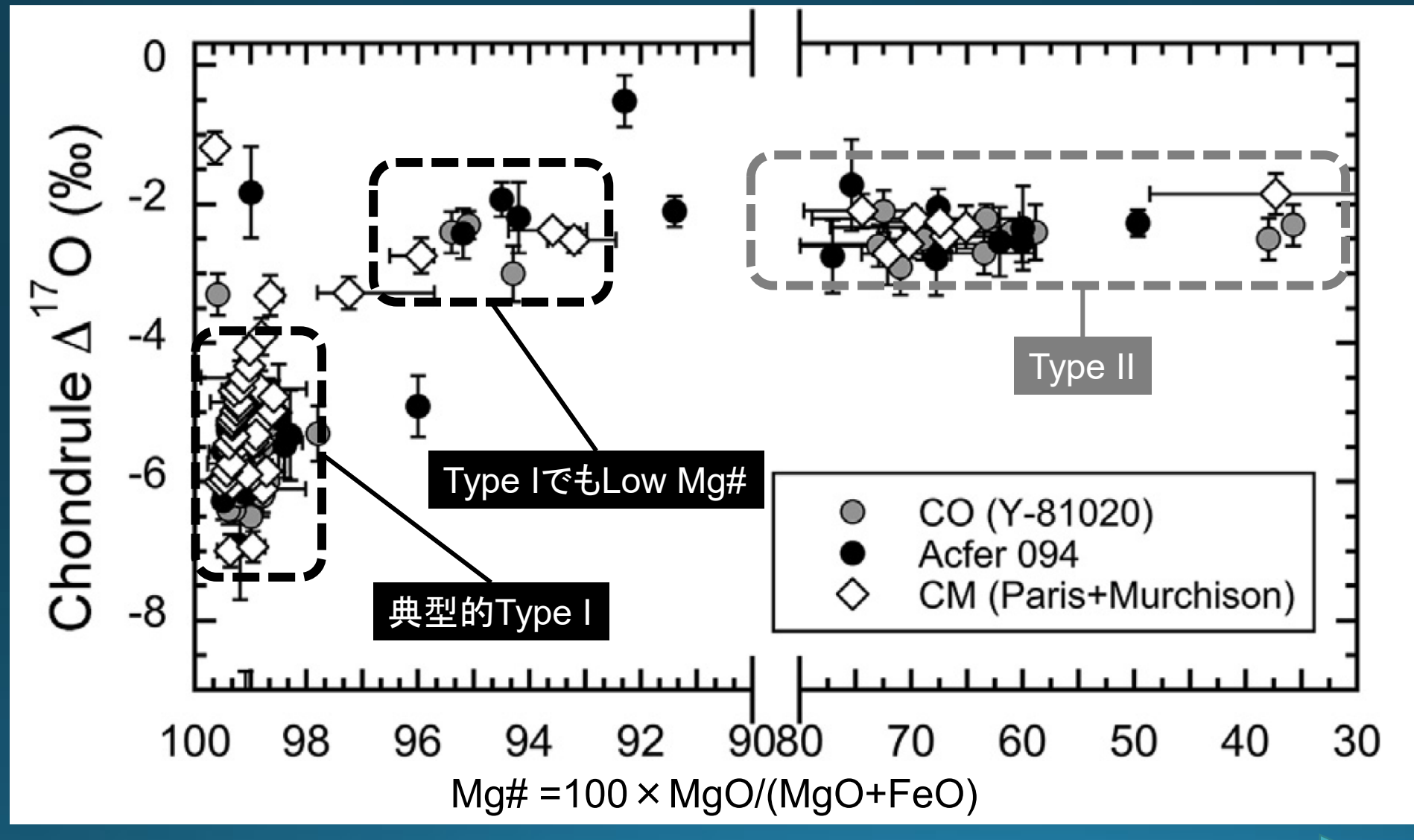


高い^{△17}O値を持つ 酸化剤成分(H₂O?)の増加が原因

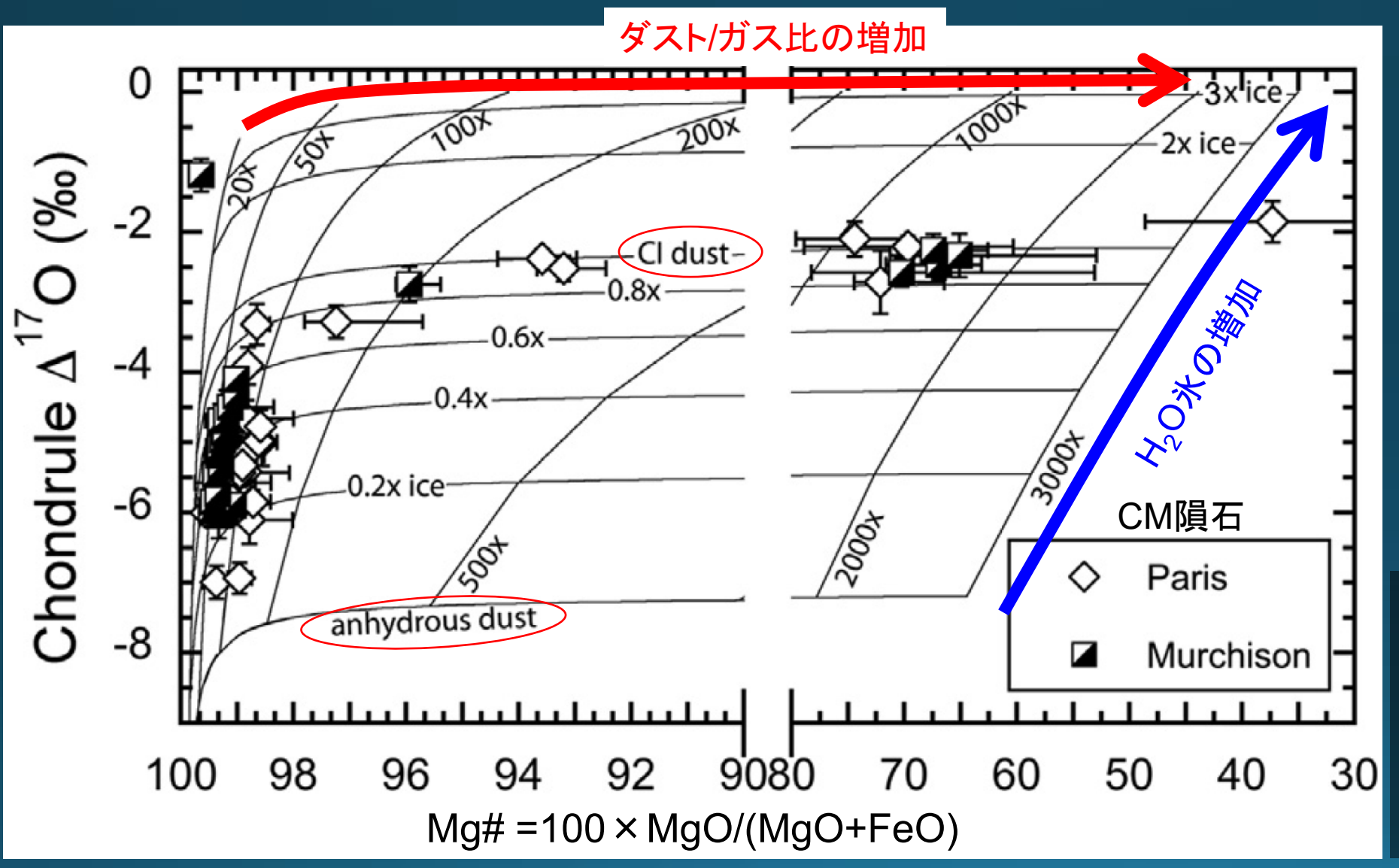
酸素同位体比(Δ17O値)と酸化還元状態(Mg#)の相関

CM/COコンドライト (C型小惑星起源)

Shaumard+ 2021 GCA



酸素同位体比(Δ17O値)と酸化還元状態(Mg#)の相関



Tenner+ 2015 GCA Hertwig+ 2018 GCA

コンドルールの分布は

『太陽組成円盤ガス』

に対して

『無水珪酸塩とH₂O氷の混合ダスト』

が濃集することで説明可能。

図の場合

Solar Gas: $\Delta^{17}O = -28.4\%$

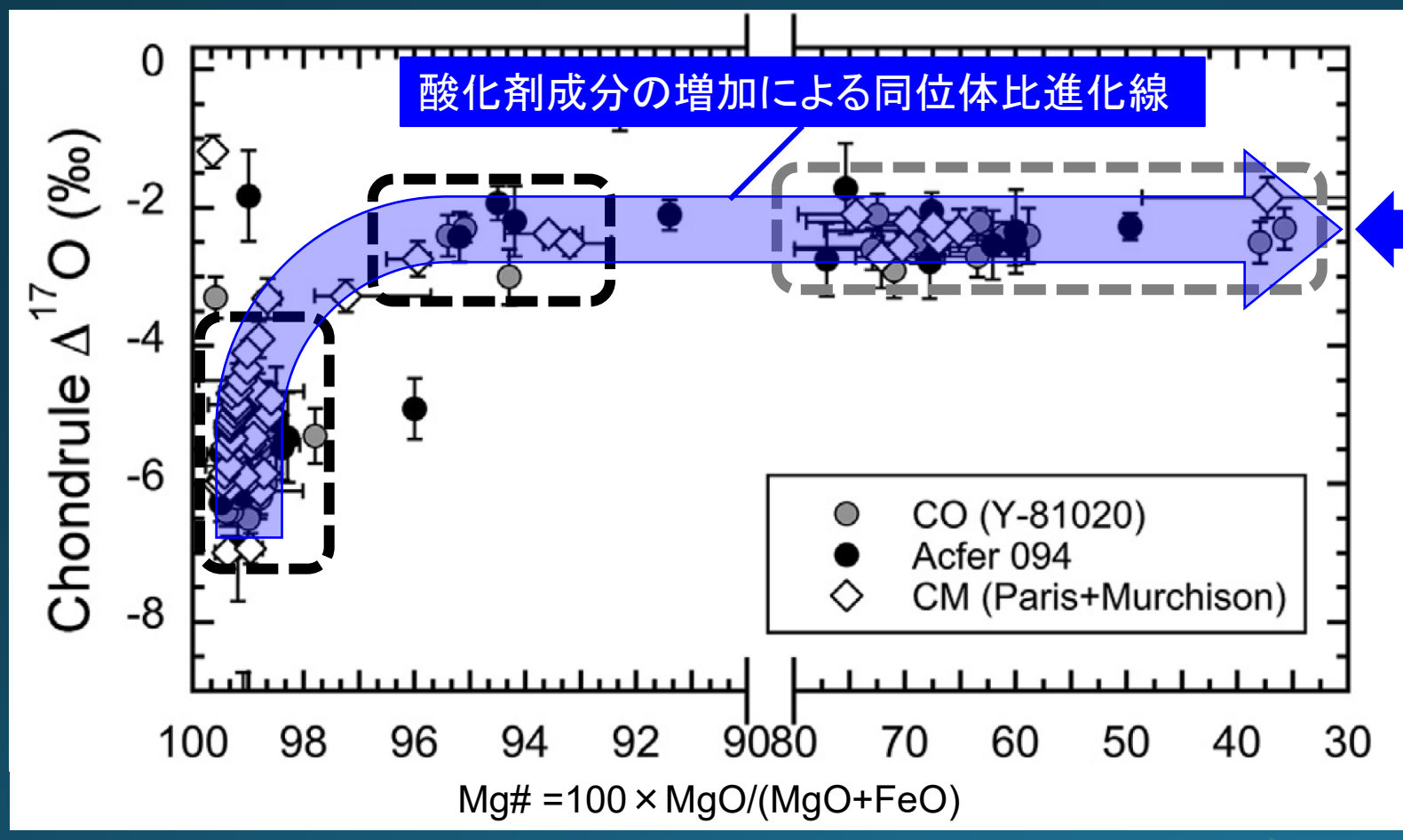
有機物: $\Delta^{17}O = +11\%$ Silicates: $\Delta^{17}O = -8\%$ H_2O 氷: $\Delta^{17}O = +2\%$

で計算。

(Chaumard+ 2021 GCA)

酸化剤成分の酸素同位体比(Δ¹⁷O値)の推定

CM/COコンドライト (C型小惑星起源) Shaumard+ 2021 GCA



コンドルールの同位体比分布を

還元的 珪酸塩ダスト (Δ¹⁷O~-8‰)

酸化剤成分 (∆¹⁷O~-2‰)

の混合で説明すると

酸化剤成分 △¹⁷O~-2‰

酸化剤成分がH₂O氷の場合:

 $\Delta^{17}O(H_2O) = -2\%$

<u>CIコンドライト的物質の場合</u>:

(酸素の44%:珪酸塩、54%:H₂O、

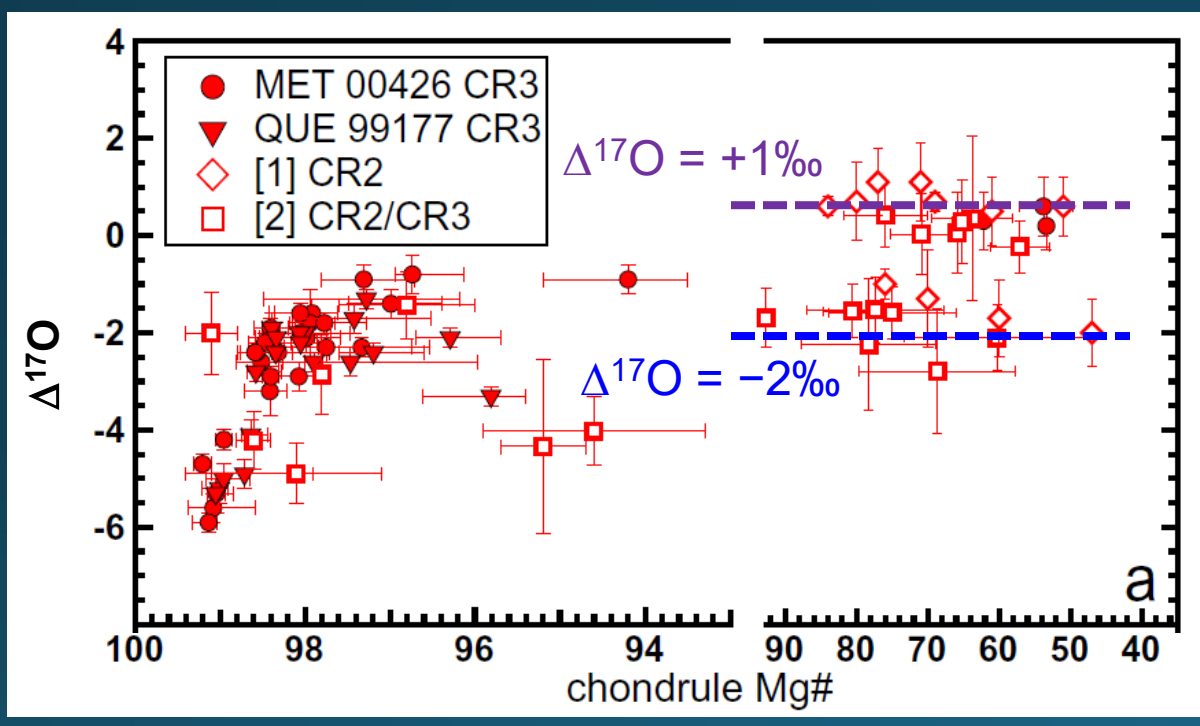
2%:有機物)

 $\Delta^{17}O(H_2O_{1}) = +2.5\%$

さらに遠方の母天体中のコンドルール

さらに高い Δ^{17} O値を持つ Type II(酸化的) コンドルールが存在

CR隕石

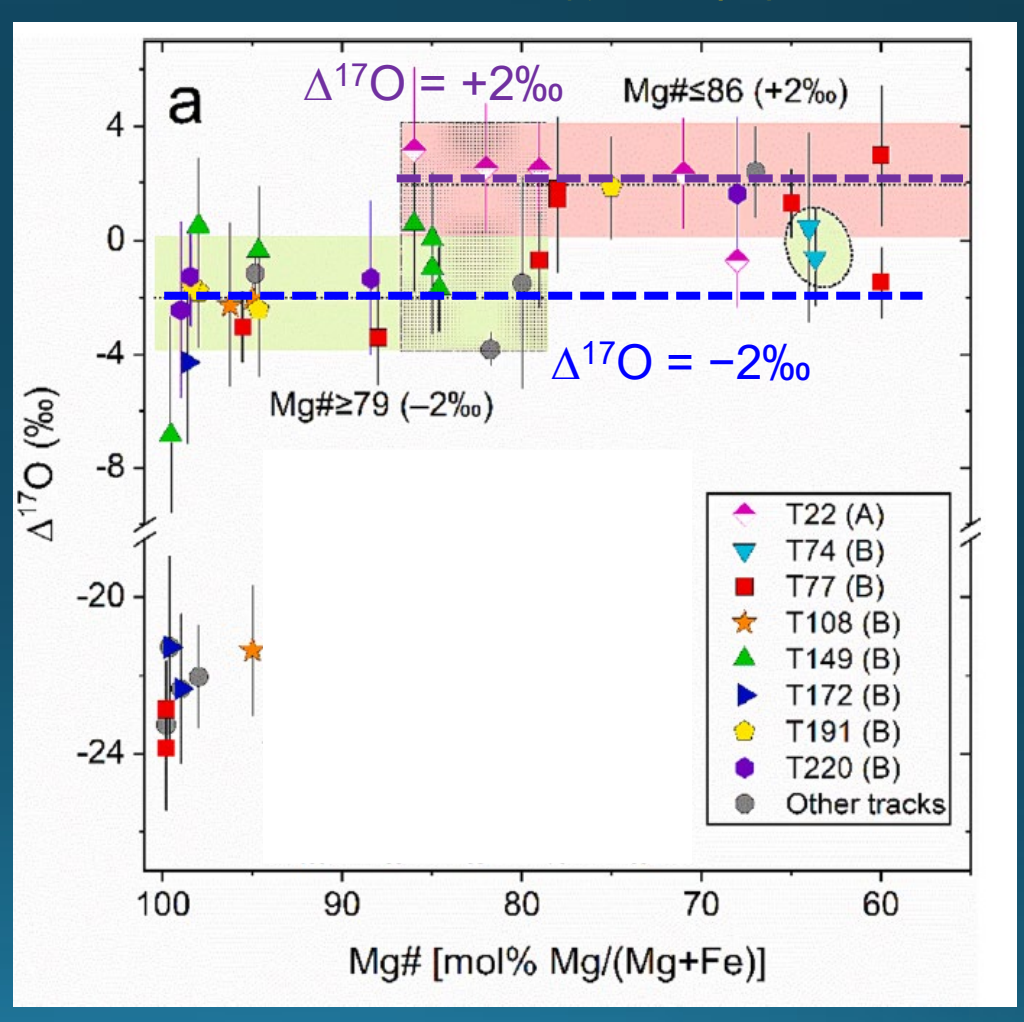


Yamanobe+ 2018 Polar Sci.; Ushikubo & Kimura 2021 GCA; Nakashima+ 2024 GCA. etc.

Tenner+ 2015 GCA

※高い△¹⁷O値を持つType II コンドルールは、 Tagish Lake (-like)隕石やCH隕石からも見つかる

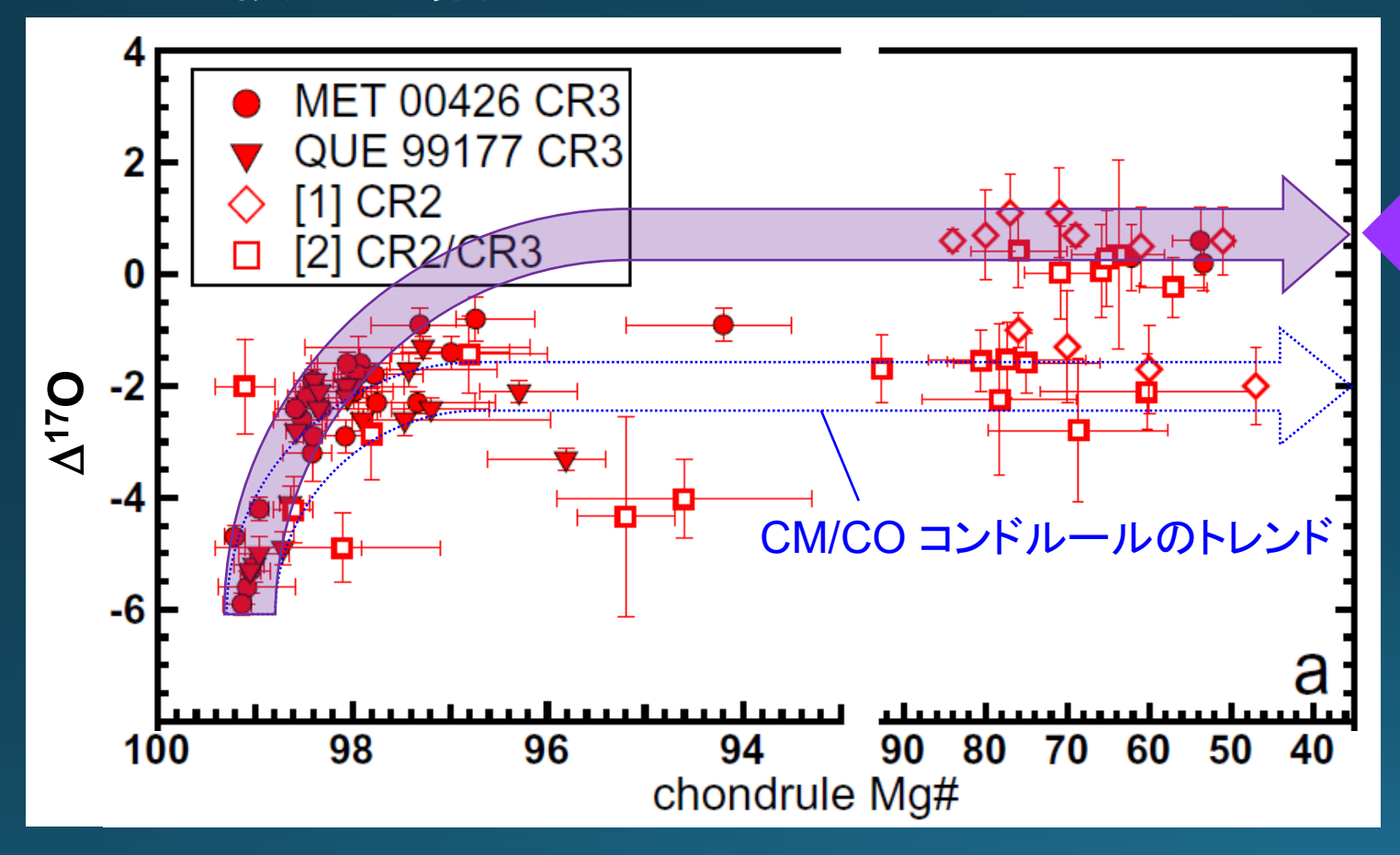
81P/Wild彗星 珪酸塩鉱物粒子



Zhang M.+ 2024 *GCA*

円盤遠方にさらに△17Oが高い"酸化剤"が存在?

CR隕石の場合



彗星やD型小惑星には 遠方で形成したコンドルール が保存されている?

遠方の 酸化剤成分 ∆¹⁷O~+1‰

酸化剤成分がH₂O氷の場合:

 $\Delta^{17}O(H_2O) = +1\%$

CIコンドライト的物質の場合:

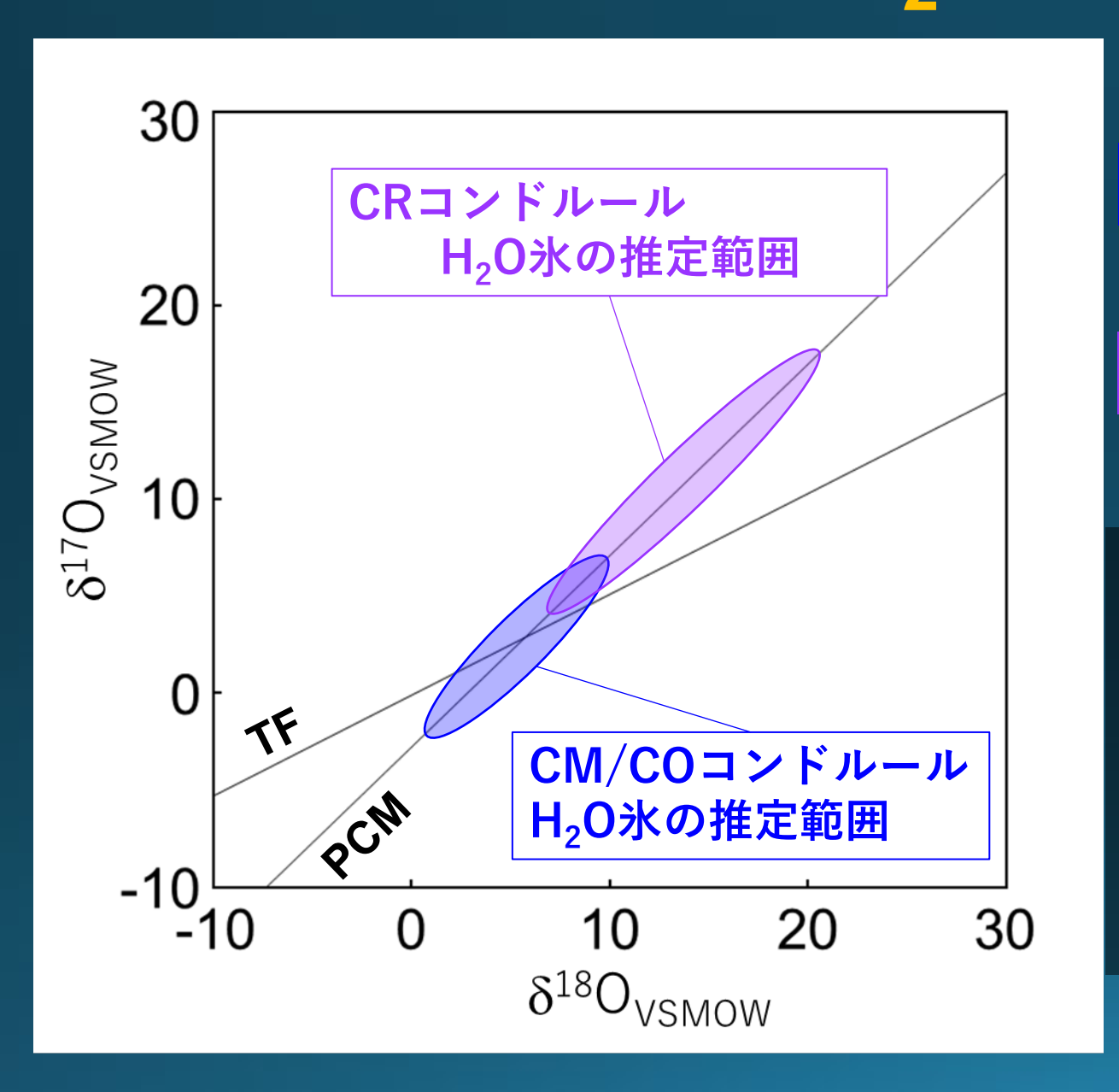
(酸素の44%:珪酸塩、54%:H₂O、

2%:有機物)

 $\Delta^{17}O(H_2O)$ = +8%

動径方向の同位体比変化

推定されるH2O氷の酸素同位体比



H₂O氷の酸素同位体比が 傾き~1のPCM line上にあるとした場合

CM/CO隕石

$$\Delta^{17}O = -2 \sim +2.5\%$$

CR隕石(&Tagish Lake隕石)

$$\Delta^{17}O = +1 \sim +8\%$$

酸化剤の△17〇値の違いが

1) 珪酸塩との量比の違い(共通のH₂O氷):

$$\Delta^{17}O(H_2O)$$
 = +1~+2.5%

2)H₂O氷と珪酸塩の量比は同じ:

円盤動径方向のH₂O氷のΔ¹⁷O値の違い

彗星の始原H₂O氷(△¹7O~+100‰)とは違う

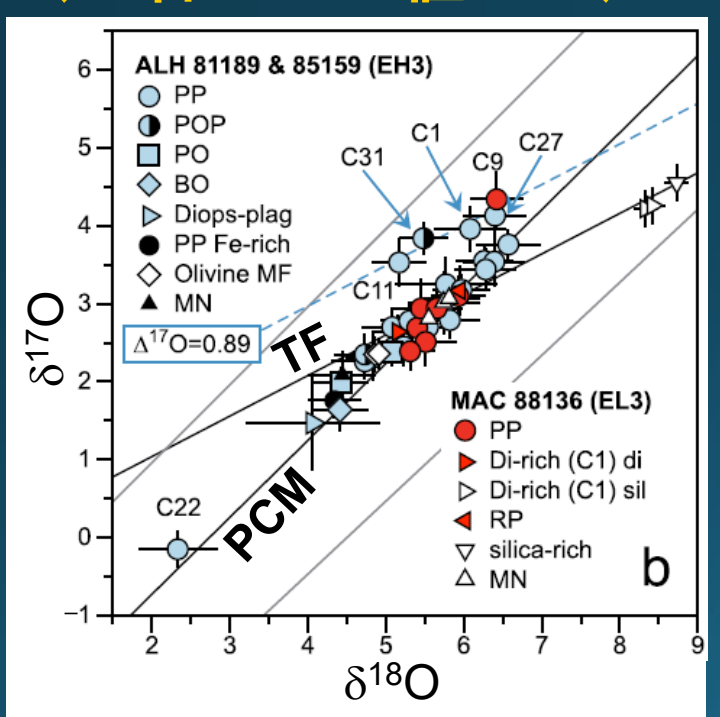
コンドルールの酸素同位体比の特徴

3. NC隕石: Anhydrous Dustの濃集?

主なNC隕石(E, O, R)のコンドルール

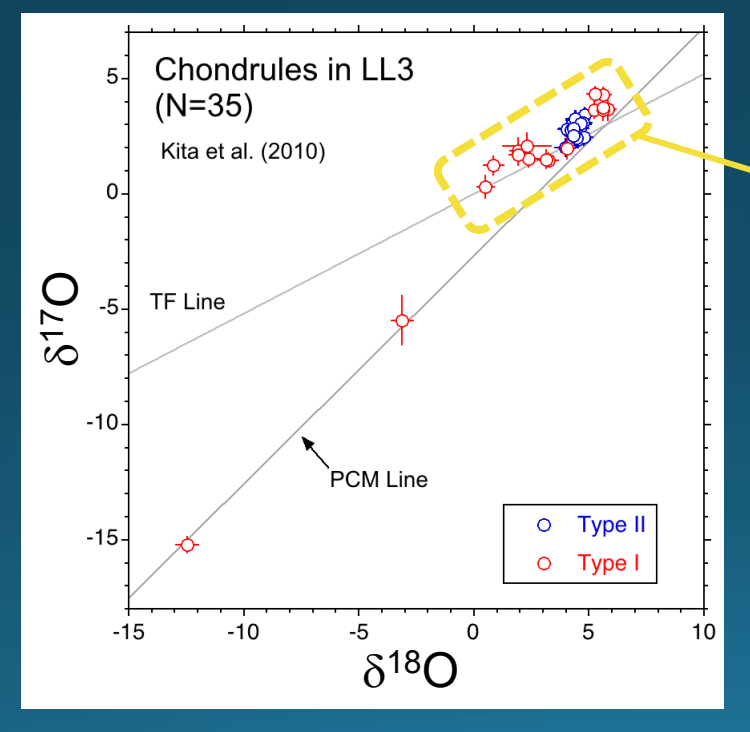
- ➤ エンスタタイト隕石は△¹7O = 0のものが多い
- ▶ 普通隕石とR隕石のコンドルールの分布は良く似ている

Enstatite Chondrites



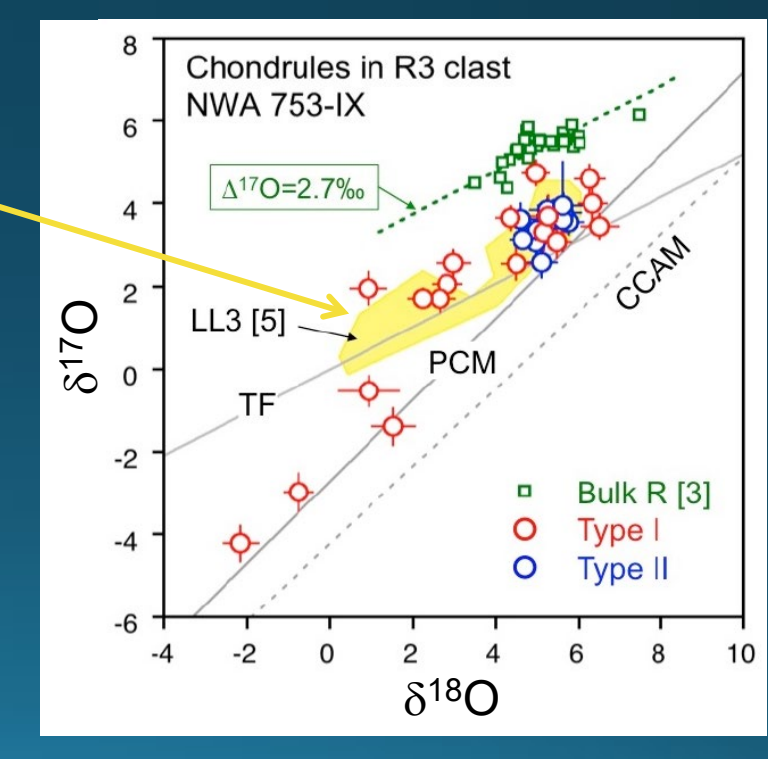
Weisberg+ 2021 GCA

Ordinary Chondrites (全岩の△¹⁷O値: 0‰) (LL隕石全岩の△¹⁷O値: +1.3‰)



Kita+ 2010 GCA

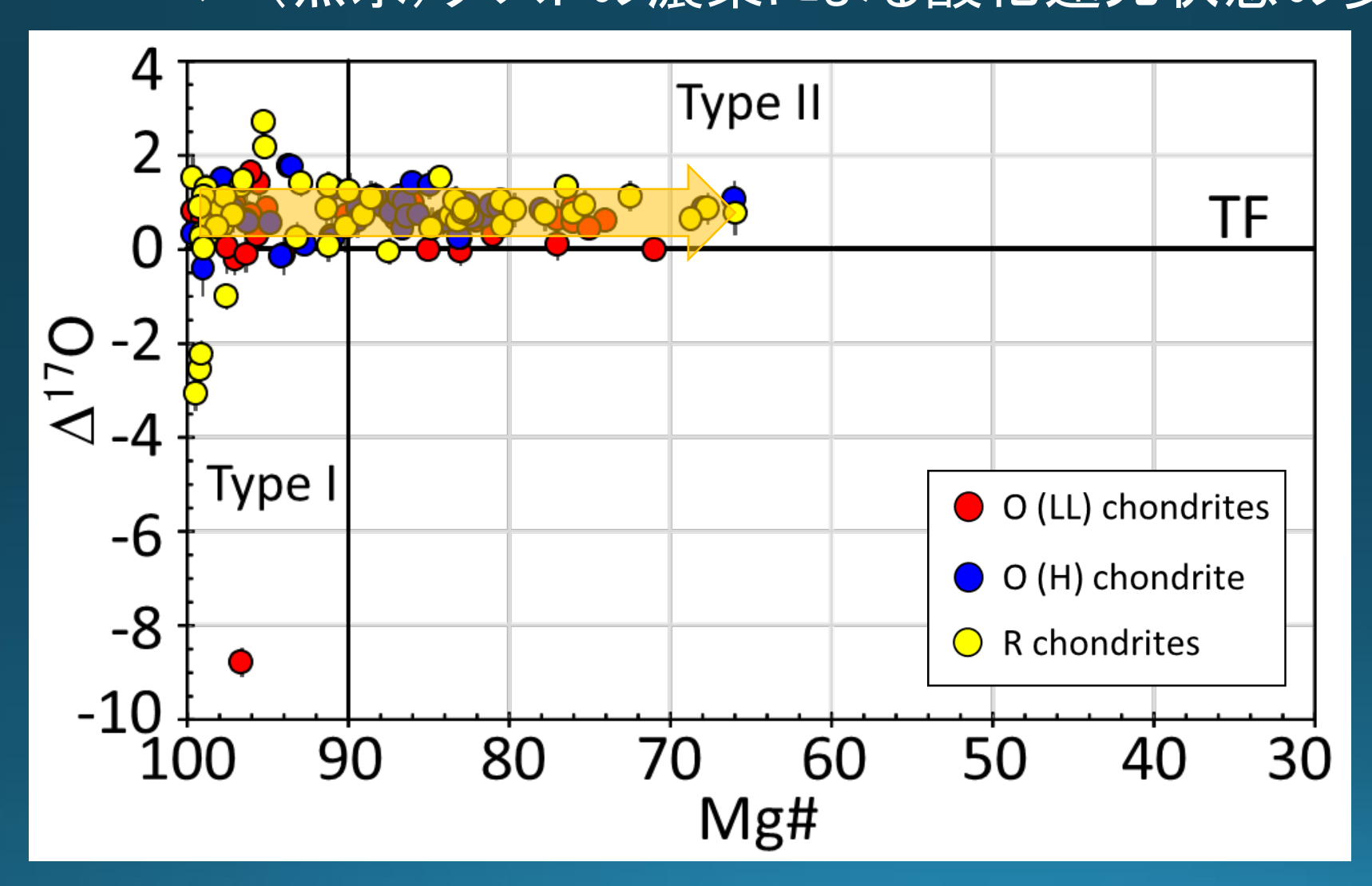
R Chondrites (全岩の∆¹⁷O値:+2.7‰)



Kita+ 2013 Metsoc. abst

酸素同位体比(Δ¹⁷O値)と酸化還元状態(Mg#)の相関

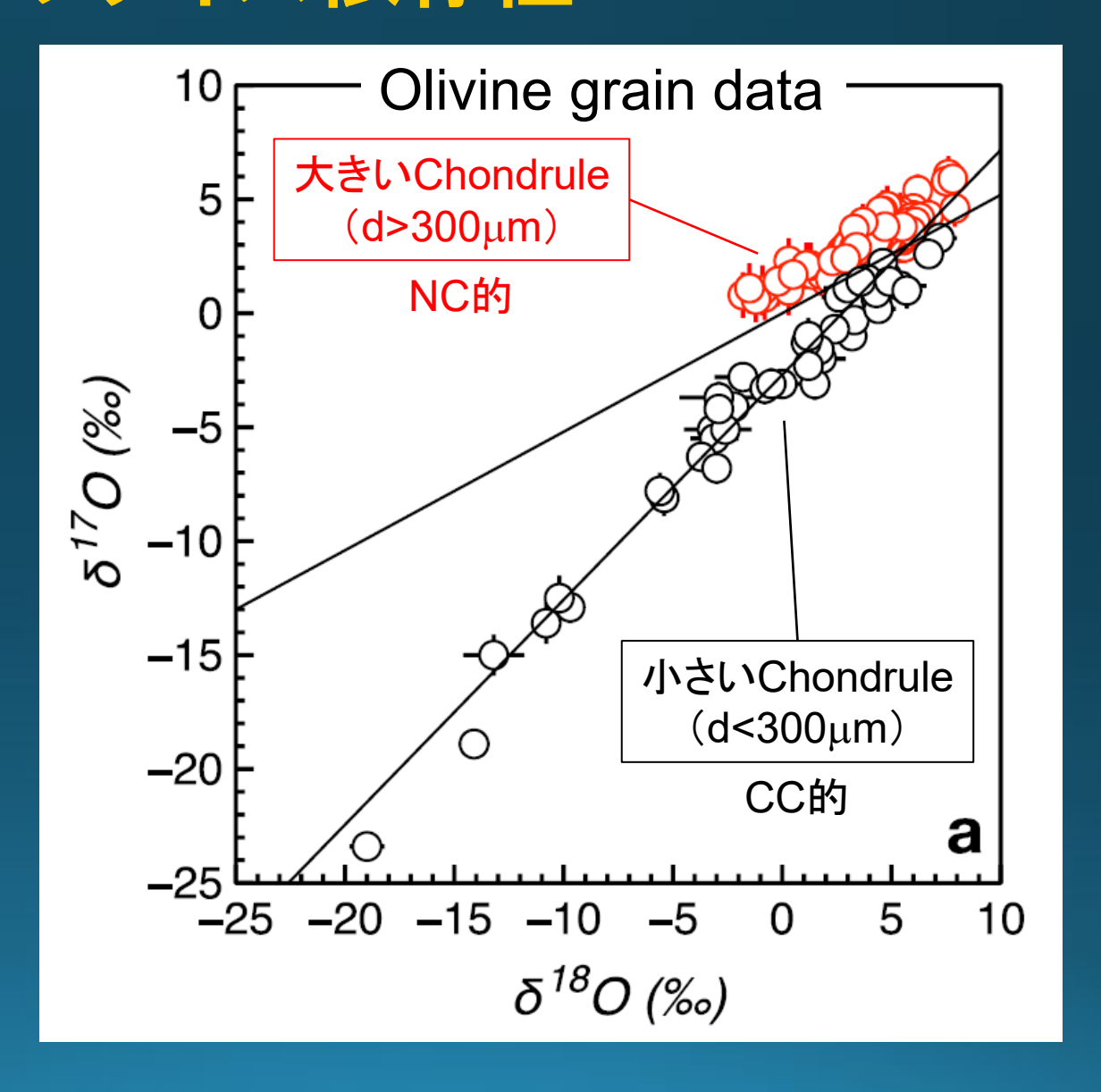
Mg#との相関無し、Mg#90付近のギャップ無し ⇒ (無水)ダストの濃集による酸化還元状態の変動?



普通隕石(LL隕石)のコンドルールで見つかった酸素同位体比のサイズ依存性 Marrocchi+ 2024 GCA

- ➤ 古い世代のCC隕石的コンドルールが 小さいコンドルールとして残っている? (Marrocchi+ 2024 GCA)
- ♪ 小さいコンドルールはCC隕石のコンドルール形成領域から移動してきた?

他のNC隕石、CC隕石のコンドルールについても、酸素同位体比のサイズ依存性の有無を検証する必要がある。

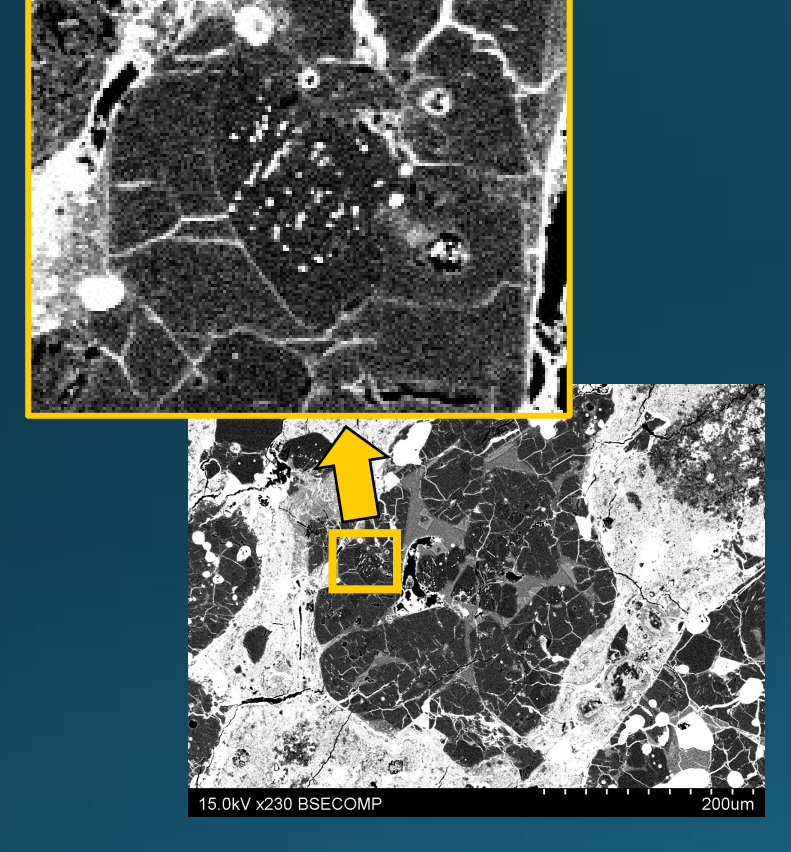


コンドルールの酸素同位体比の特徴

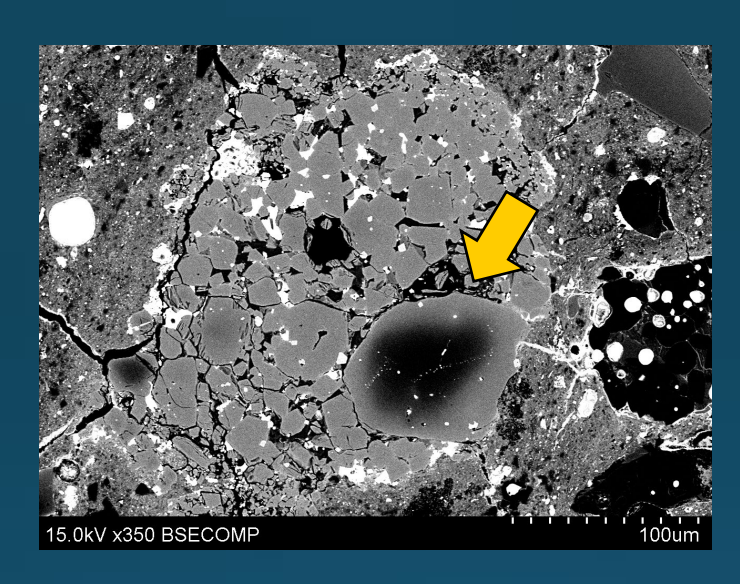
4. 熔け残り結晶の存在率は高い

熔け残り結晶(Relict Grains)

Dusty olivine



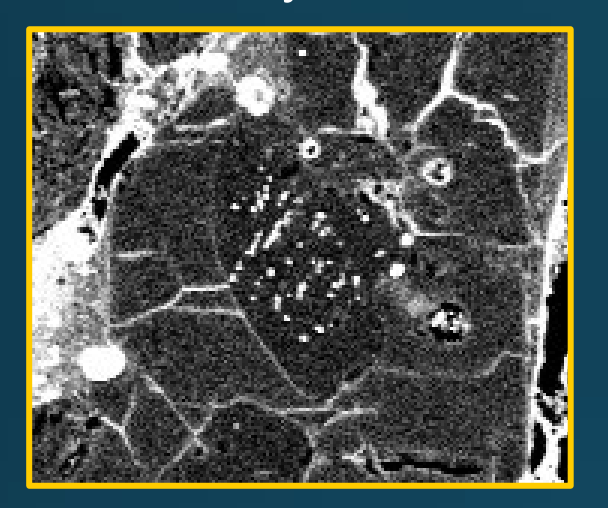
FeO-richなオリビンが 還元されて出来た (Nagahara 1981 *Nature*) MgO-rich olivine in FeO-rich overgrowth

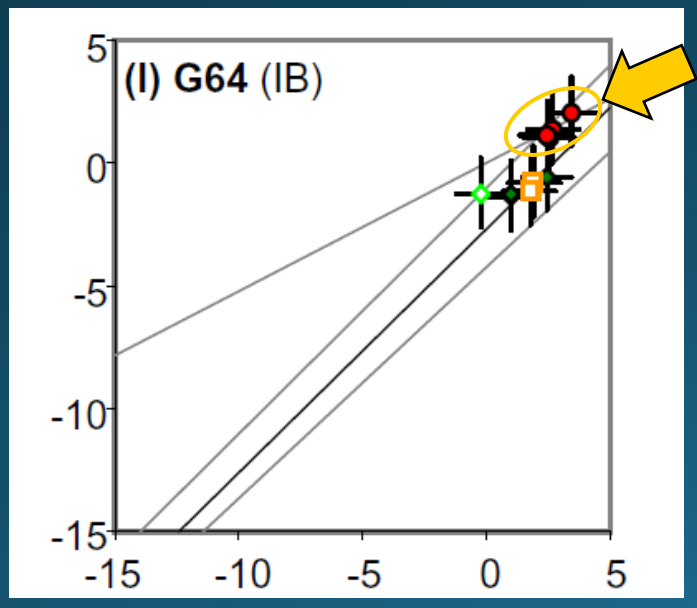


MgO-richなオリビンに FeO-richなオリビンが 付加成長して出来た

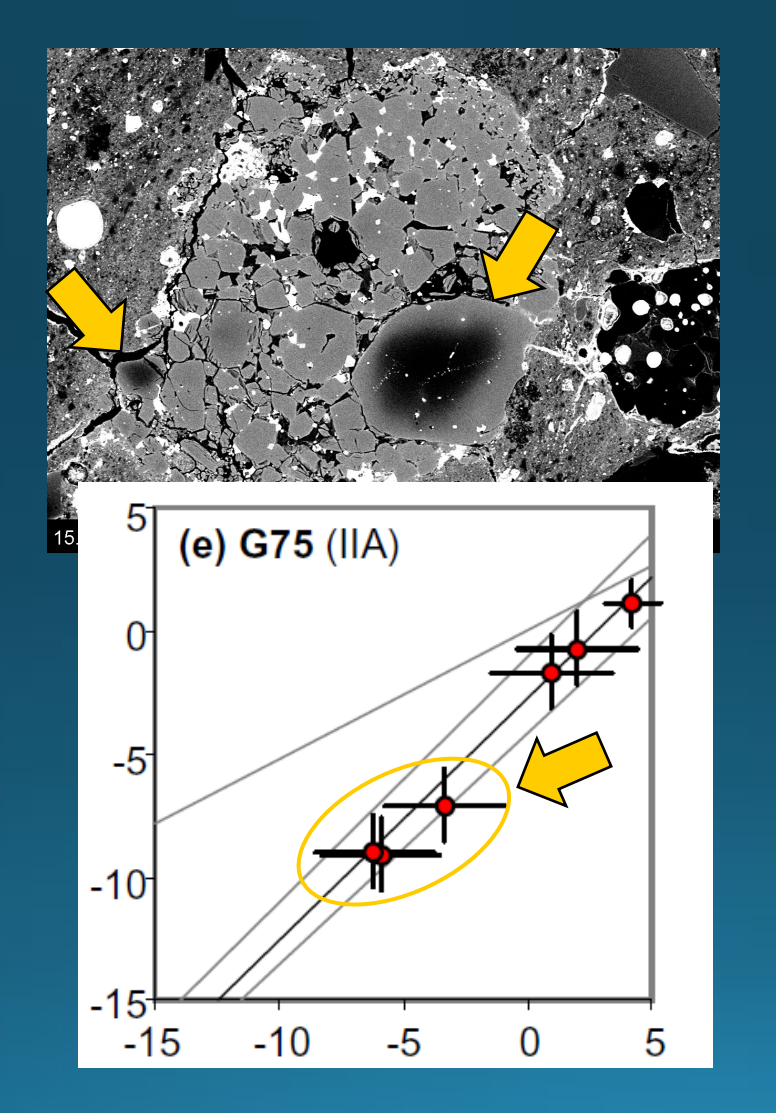
熔け残り結晶(Relict Grains)

Dusty olivine

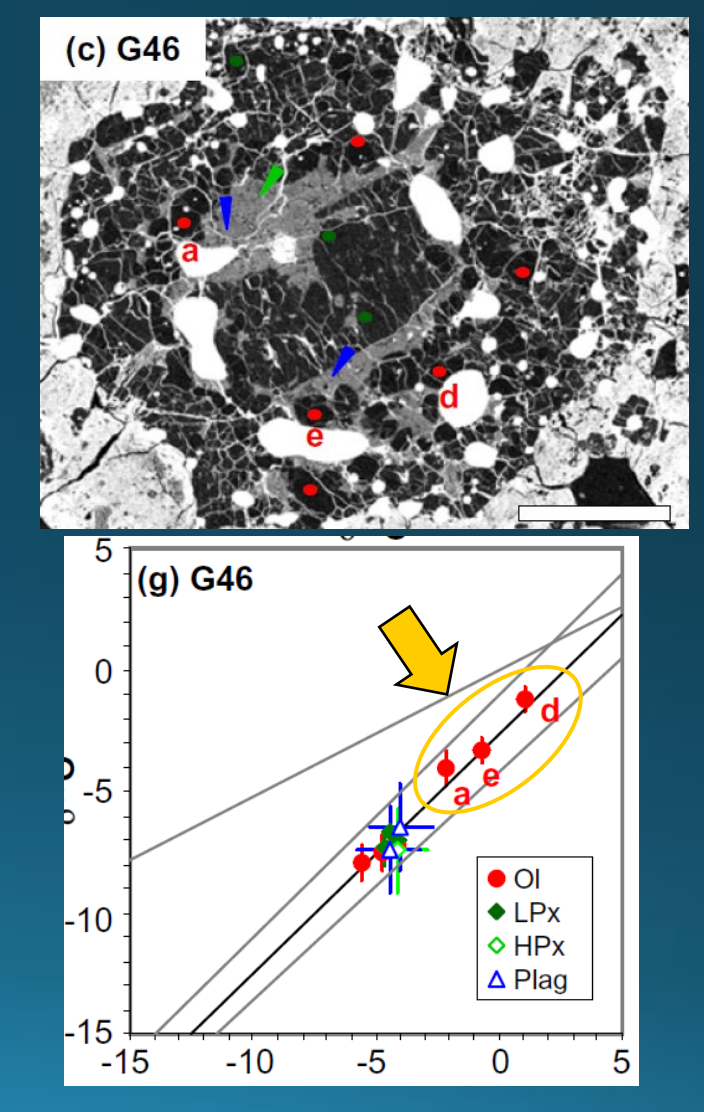




MgO-rich olivine in FeO-rich overgrowth

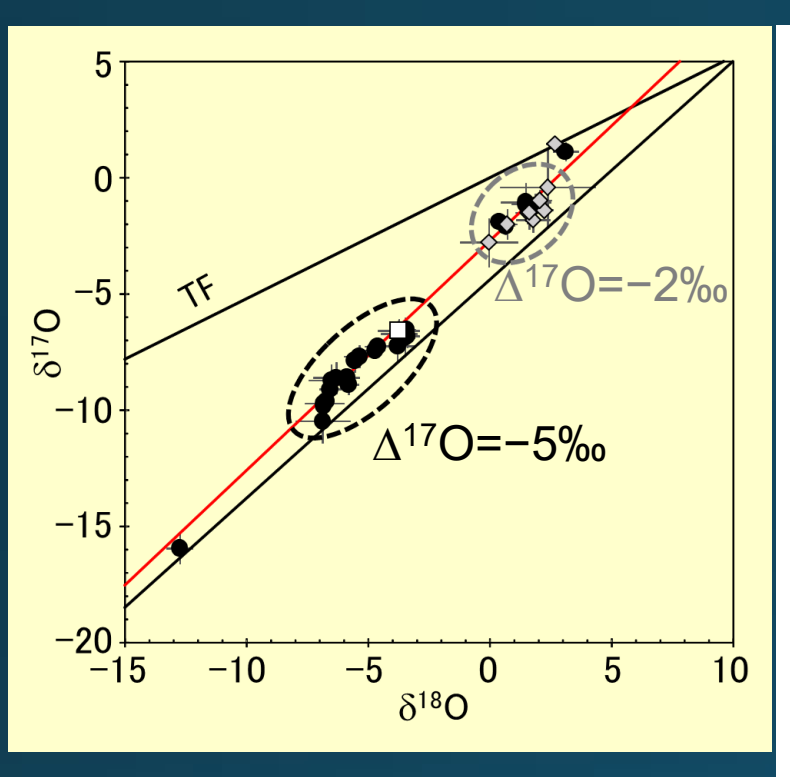


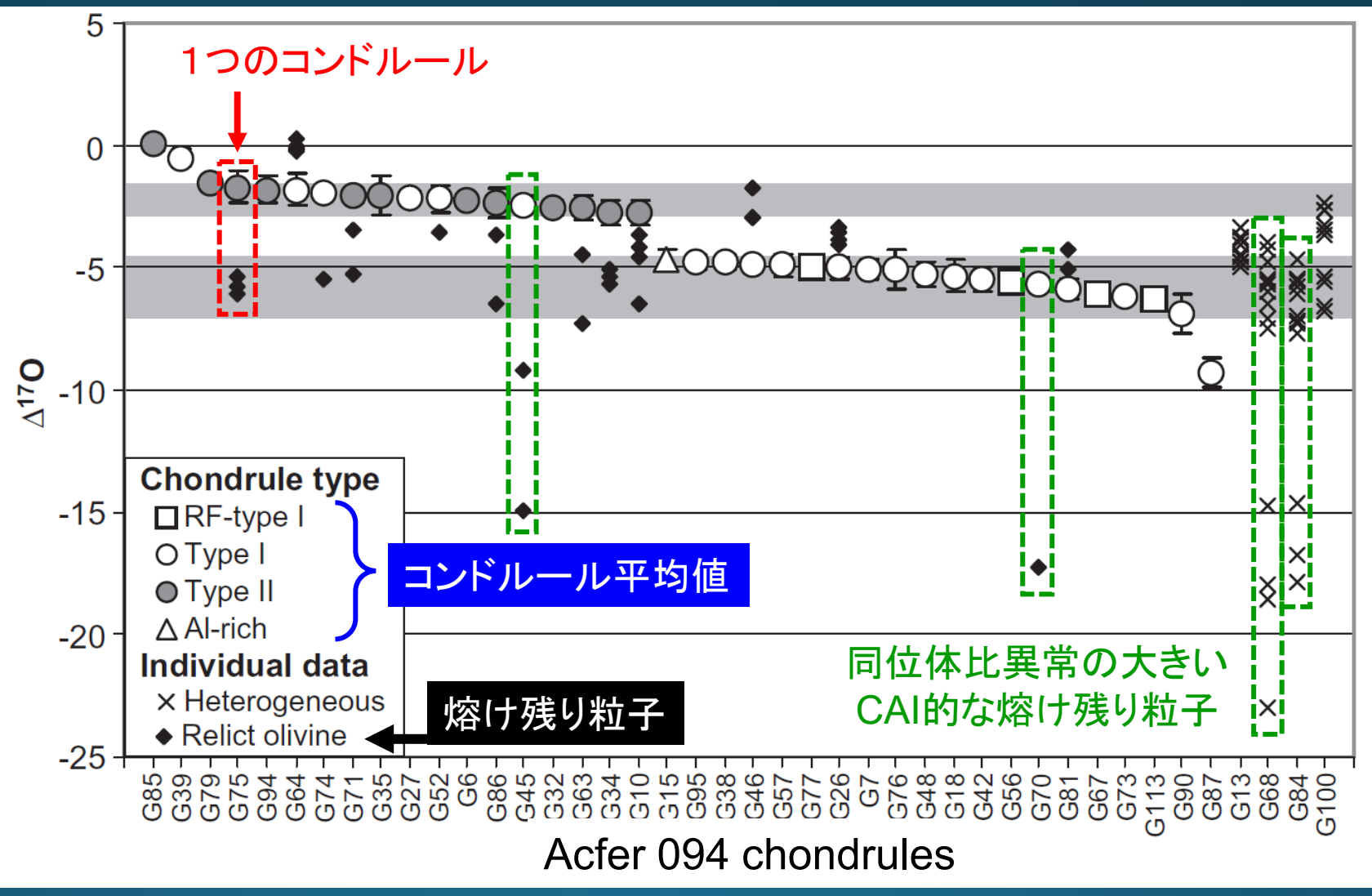
Olivine with anomalous ∆¹7O value



42個のCC隕石のコンドルール

Ushikubo+ 2012 GCA





- ➤ Relict grainの多くはコンドルール平均値の範囲内
- ▶ Relict grainの出現に<mark>排他性</mark>がある(High-△¹⁷O vs. Low-△¹⁷O)

コンドルールと熔け残り粒子の形成

加熱イベント、 ダストアグリゲイト ガス-メルトの交換反応 Melt 周囲の蒸気 コンドルール

H₂ガスに富む 還元的環境

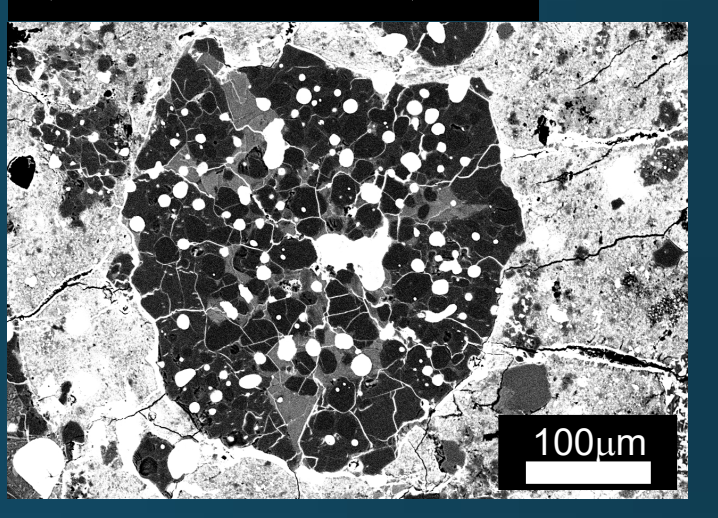




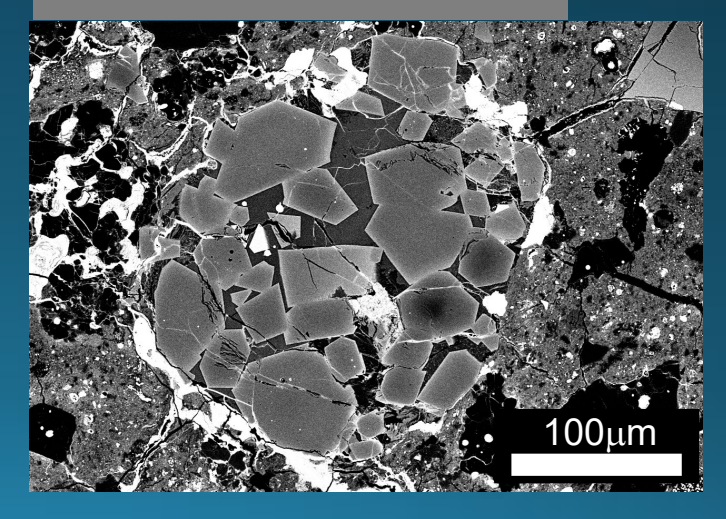
H₂O氷の多い(?) 酸化的環境

再熔融(コンドルール再形成)

Type I: MgO-rich $(\Delta^{17}O = -5\%)$



Type II: FeO-rich $(\Delta^{17}O = -2\%)$



熔け残り粒子を持つコンドルールの割合は思いの外に高い

Table 2. Compilation of host and relict cho	ndrule olivine SIMS O-isotope data from rece	nt studies. Excludes heterogeneous c	hondrules reported in studies.

			ĺ								GRO 95551-
chondrite type	CV3	соз	CR2	CB _b , CH/CB _b	ungro	uped C	LL3	Enstatite (E)	Kakangari (K)	Rumuruti (R)	NWA 5492 (G)
source	[1] ^(c)	[2]	[3-7]	[8] ^(d)	[9] ^(e,f)	[10]	[11] ^(g)	[12]	[13]	[14] ^(h)	[15]
total chondrules with olivine data ^{(a)(b)}	24	26	77	11	34	30	31	12	7	6	17
total relict olivine-bearing chondrules ^{(a)(b)}	1	13	11	1	1 5	16	3	4	1	2	0
% relict olivine-bearing chondrules	4	50	14	9	44	53	10	33	14	33	0
total host olivine spot data	65	68	278	23	111	99	92	20	33	18	39
total relict olivine spot data	1	32	14	1	35	43	6	12	1	5	0
% host olivine spot data	98.5	68.0	95.2	95.8	76.0	69.7	93.9	62.5	97.1	78.3	100

Tenner+ 2018 In Chondrules

Δ¹⁷O値で見た熔け残り粒子を持つコンドルールの割合

CV chondrite: ~4% (平均直径:1.0mm)

CR chondrite: 14% (平均直径:0.7mm)

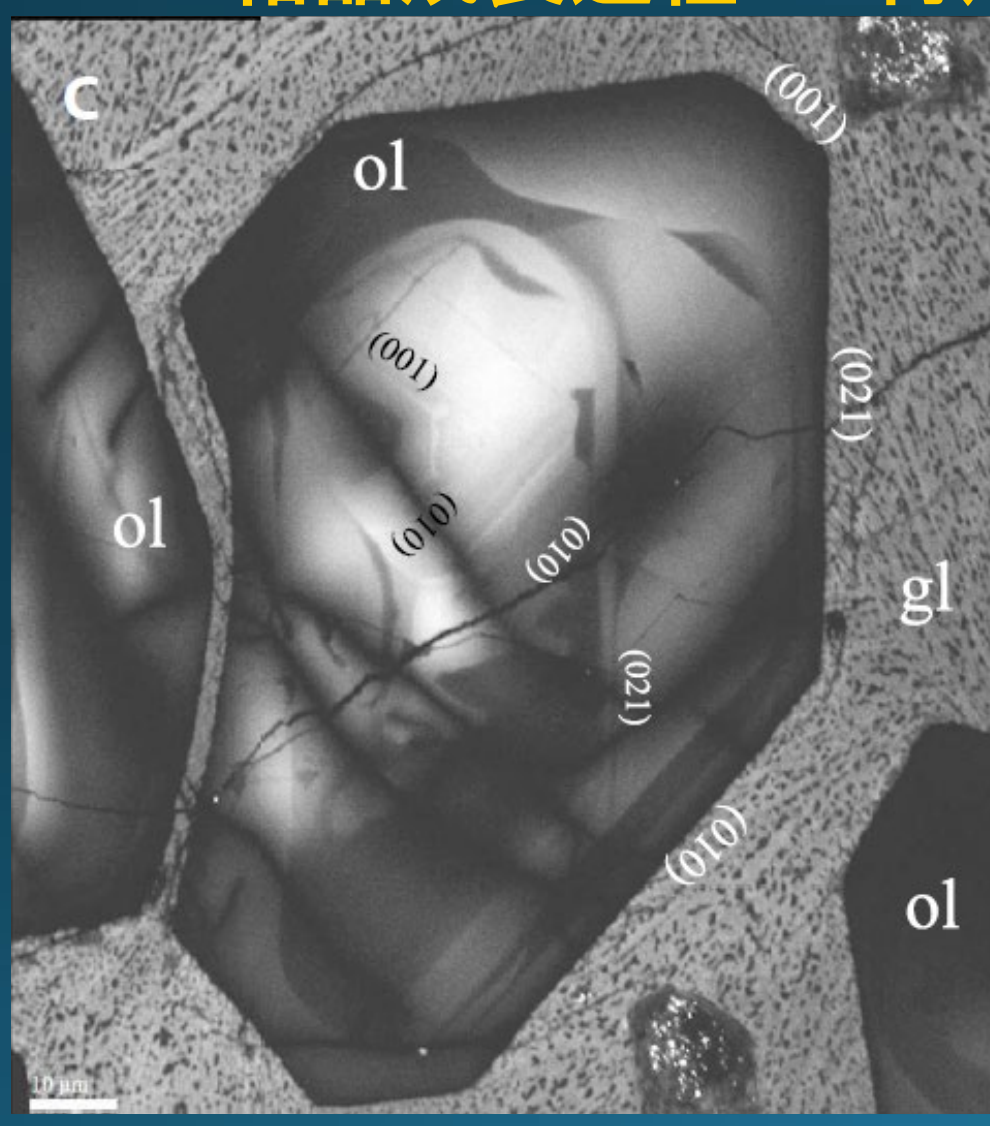
O (LL) chondrite: 10% (平均直径: 0.9mm)

CO chondrite: 50% (平均直径:0.15mm)

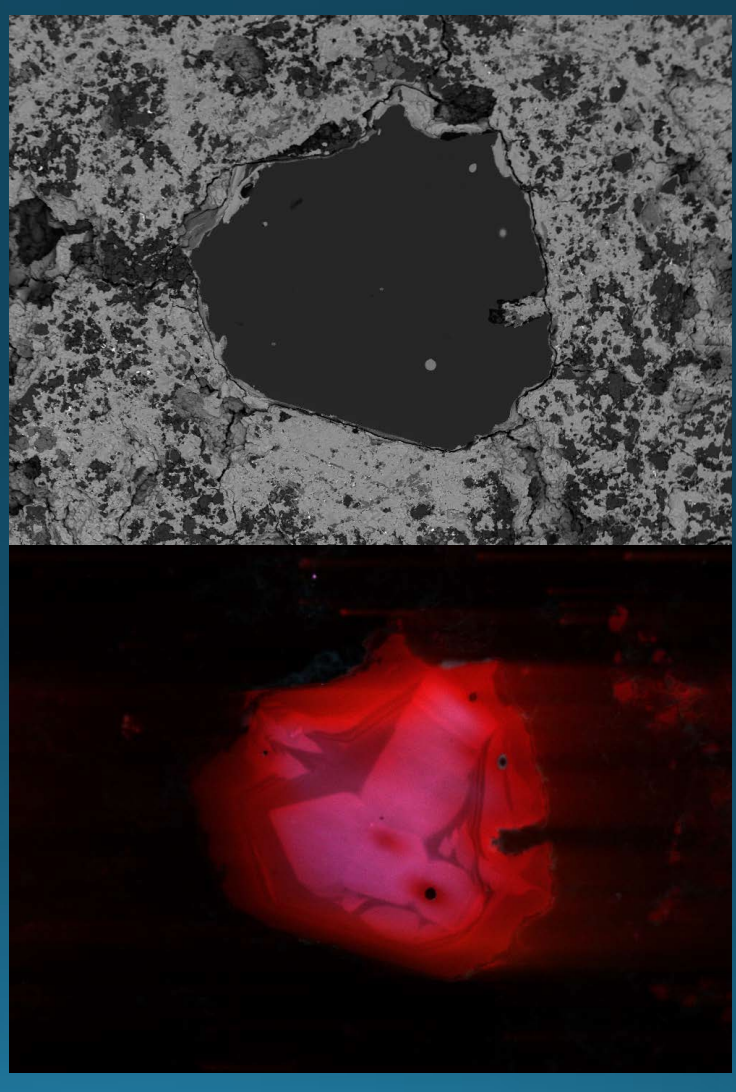
Acfer 094: 50% (平均直径:不明, CO chondriteに近い)

(△17O値の変化しない再熔融を含めると)コンドルールの再熔融率は上記数値よりも高い

CL画像等で見えるオリビン結晶の内部構造 結晶成長過程 or 再熔融の検証が課題



Libourel & Portail 2018 Science Adv.



Ushikubo & Kimura 2021 GCA

まとめ

- ▶コンドルールの酸素同位体比(△¹7〇値)と酸化還元状態(Mg#): 初生ダストの情報ではなく、形成環境の情報を保存している
- ▶ CC隕石のコンドルール:
 Mg#と△¹⁷O値の相関はH₂O氷成分の濃集の影響
 H₂O氷の酸素同位体比は彗星に見られる始原H₂O氷とは違う
- ▶ NC隕石のコンドルール:
 Mg#に関わらず△¹⁷O値はほぼ一定
 珪酸塩ダストの濃集によって生じた(H₂O氷の影響は小さい)
 ※ NC隕石コンドルールとCC隕石コンドルールの相互の移動の証拠
- ▶ 熔け残り粒子の存在:
 酸素同位体比で見ると数十%のコンドルールで見つかるコンドルールのほとんどが再熔融を経験している可能性がある